

Vysoká škola strojní a textilní v Liberci
na silikátovém hlinu práce
Fakulta strojní

Ober 23 - 67 - 8

Srovnání technologií

zprávy

Chrábní a ekonomické

Katedra chránění a montáže

Návrh metodiky měření významných parametrů působících na stroj při sestavování i seřazování keramiky /TJK/

DP - ST 1537/80

Jméno autora: Jiří Novák

Vedoucí DP : Ing. Jan Printa, VŠST Liberec

Konsultant : Ing. Jan Printa, VŠST Liberec

základní údaje o díle

Počet stran : 71
Počet příloh : -
Počet tabulek : 15
Počet obrázků : 14
Počet tyčinek : -
Počet modelů : -
a jiných příloh : -

Liberec 22. května 1980

KOMI CE

Vysoká škola: strojní a textilní
v Liberci
Fakulta: strojní

Katedra: obrábění a montáže
Školní rok: 1979/80

DIPLOMOVÝ ÚKOL

pro Jiřího NOVÁKA
obor 23 - 07 - 8 strojírenská technologie

Protože jste splnil požadavky učebního plánu, zadává Vám vedoucí katedry ve smyslu směrnic ministerstva školství a kultury o státních závěrečných zkouškách tento diplomový úkol:

Název tématu: Návrh metodiky měření významných parametrů,
působících na nástroj při soustružení izostaticky lisované keramiky (ILK)

Pokyny pro vypracování:

- 1/ Hospodářskopolitický význam zadání
- 2/ Shrnutí dosavadních poznatků z obrábění ILK
- 3/ Výběr základních parametrů
- 4/ Zpracování metodiky měření včetně záznamu a vyhodnocení
- 5/ Ověření navržené metodiky na příkladech (modelech)
- 6/ Závěr

Autorské právo se řídí čl. 102, § 1
MŠK pro státní záv. zkoušky, díl I
727/42.7/2 ze dne 18. 6. 1972
1962/Vestník MŠK XVIII, číslo 2, ze
31. 8. 1962/919 aut. z. č. 115/53 Sb.

VYSOKÁ ŠKOLA STROJNÍ A TEXTILNÍ
Ústřední knihovna
LIBEREC 1, STUDENTSKÁ 5
PSČ 461 17

Rozsah grafických laboratorních prací: dle potřeby

Rozsah průvodní zprávy: asi 50 stran

Seznam odborné literatury:

Liemert, G. a kol.: Obrábění, SNTL Praha 1974
Buda, J., Békés, J.: Teoretické základy obrabania kovov, SVTL Bratislava 1967
Uhlíř, M.: DP-ST 1264/77, VŠST Liberec 1977
Gabriel, Vl. a kol.: Studium možností současného měření významných parametrů působících na nástroj. Výzkumná zpráva KOE VŠST Liberec, 1977

Vedoucí diplomové práce: Ing. Jan Frinta

Konsultanti: Ing. Jan Frinta

Datum zahájení diplomové práce: 15.10.1979

Datum odevzdání diplomové práce: 23.5.1980



Doc. Ing. Vojtěch Dráb, CSc
Vedoucí katedry

Doc. RNDr. Bohuslav Stříž, CSc
Děkan

Misterijně prohlašuji, že jsem diplomovou práci
vypracoval samostatně a použitím uvedené literatu-
ry.

Liberec 22. května 1980

Jiří Šimáček

Obsah

1.	Úvod	6
1.1.	Hospodářsko-politický význam zadání	6
2.	Shromáždění důsledných poznatků z obrábění inestatické lisovací keramiky	8
2.1.	Úvod do keramiky	8
2.2.	Přehled o obrábění keramických hmot	11
2.3.	Technologické schéma výroby insláteru	12
2.4.	Surovinové alebožení hmot inestaticky lisovací keramiky	13
2.5.	Vlastnosti keramických hmot	13
2.5.1.	Vlastnosti v nevypáleném stave	13
2.5.2.	Vlastnosti vypáleného střepu	14
2.6.	Přehled důsledných poznatků	14
2.6.1.	Vliv fyzických podmínek na slesky pevné síly	14
2.6.2.	Vliv geometrie vrstvy na slesky pevné síly	15
2.6.3.	Havarijné fyzické podmínky a geometrie vrstev dentidky	16
2.6.4.	Opakování nástroje	17
2.6.5.	Povrchovní nástrojových materiálů	17
3.	Výběr měřicích veličin	19
4.	Zpracování metodiky měření včetně záznamu a vyhodnocení	22
4.1.	Metoda plánování experimentu	22
4.2.	Metoda nejmenších čtvereců	24
4.3.	Měření pevné síly	26
4.3.1.	Použití přístroje a nastavení	26
4.3.2.	Obráběcí stroj	27
4.3.3.	Nástroje	28
4.3.4.	Zkušební materiál	30
4.3.5.	Nastavení přístroje a nastavení	30
4.3.6.	Metodika měření slesek pevné síly	34

4.3.7.	Odečítání hodnot ze sázance smyčkového zapisovače	35
4.3.8.	Převod nesítěných sil na skutečné síly	36
4.3.9.	Velikosti počítačových podmínek k výpočtu	38
4.3.10.	Cajehování	39
4.3.11.	Experimentální práce	42
4.3.12.	Naměřené hodnoty	43
4.3.13.	Zhodnocení shodností	54
4.4.	Měření teploty	56
4.4.1.	Závěrka tepla a teplotní bilance při obrábění	57
4.4.2.	Použití přístroje a zařízení	59
4.4.3.	Měření	59
4.4.4.	Vestavěný termotlánec	60
4.4.5.	Metodika měření teploty	61
4.4.6.	Cajehování	63
4.4.7.	Experimentální práce	67
4.4.8.	Zhodnocení měření teploty	69
5.	Závěr	71
6.	Souhrnné použité literatury	

1. Úvod

1.1. Hesopodářsko-politický vývoj zadání

Strojírenské výrobky byly ve Směrnici pro hospodářství a sociální rozvoj ČSSR v letech 1976-1980 učleneny velké díly. I nedaleko zástatku základem dynamického rozvoje celé československé ekonomiky, neboť rozvoj strojírenství pozitivně ovlivnil nejen místní ekonomiky a strukturní zaměstnanost v předním hospodářství, ale i strukturu a život celé společnosti.

Vzhledem strojírenské výroby u nás znamenala vznik nového jak po stránce celkového objemu, tak i po stránce kvality a sortimentu. Vznikly nové, technicky náročné obory, výroba se specializovala a koncentrovala do větších celků, vytvořila se silná strojírenská vědecko-výzkumná sítě. Proto stojí před strojírenskou výrobou velké úkoly. Ze závěru IV. sjezdu KSC přichází plynné, jakými směry se má československá strojírenská výroba ubírat.

Produkce strojírenství se stala základnou pro rozvoj řady dalších průmyslových odvětví. Zvýšení této produkce mohlo již zajistit vlastní extenzivní, tj. zvyšováním výrobních ploch a počtu zaměstnanců. Proto je bezpodmínečné mít v rámci všech odvětvího hospodářství možnost dosáhnout výšší produktivity práce, růst produkce a přitom zejména ušetřit neboji hospodářit se vlivem druhé energie, materiálu a surovin, zaměřit výkon na snížení energetické a materiálové národnosti výroby.

IV. sjezd KSC dále učsil v politice rychlého rozvoje pokračovat. Zejména je třeba současně přizpůsobovat strukturu výroby nové vznikajícím potřebám doma a měnit se podmínkám světa. Znamená to nejen pokračovat v kvantitativním rozvoji vybraných strojírenských oborů, ale zejména věnovat se tech-

nické úrovni, kvalitě, aby byly obdržáli na národních světových
trzích, aby byly na vysoké technické úrovni uspokojeváli mimo
potřeby doma. /10/

Úkoly výrobnětechnického rozvoje v oboru obráběcích strojů
v 6. pětiletce naznačují na pozitivní výsledky dosažené v mi-
nulé pětiletce. Jeden z hlavních směrů rozvoje jsou čílisevě
řízené obráběcí stroje, které velmi přispívají ke zvyšování auto-
matizace technologického procesu v oblasti malosériové a střed-
mádrově výrobě převážující v mnoha strojírenstvích.

Dobrých výsledků bylo dosaženo zejména v těch odvětvích
spotřebního průmyslu, které se upříejí o domácí euroviny, t.j.
ve skle, keramice a parcellářství.

Výrobek ve standardu umisťuje v ČSSR monoplní výrobce
Elektropreselín, n.p. Loučná. Přispění k dobrým výsledkům je
výrobě teda rozvoj čílisevě řízených obráběcích strojů, umožňující odstranění některých neznámí dosavadní technologie.
Vývoj čílisevě řízených strojů na obrábění keramiky zajišťuje
VÚEK Hradec Králové v rámci dlouhodobého programu komplexní
socialistické radikalisace n.p. Elektropreselín Loučná. Zavedení
nové technologie možné je zvýšení technické úrovně vý-
roby a kladně ovlivní ekonomické principy výroby izolátorů. /10/

Zavedení nové technologie klade požadavky v oblasti vý-
kumu inovativního lisování keramiky. Jde především o volbu vý-
konného stroje, vhodných řešení podmínek, konstrukční provedení
řezného nástroje a ohledem na geometrii břitu a použití
nástrojového materiálu apod.

Z těchto důvodů je nutné snít všechny zákonitosti, kterými
se proces obrábění řídí a následat potřebné údaje o obrábění.
Toto diplomové práce by měla důležitě přispět k řešení problémů a to tím, že jejím úkolem je měření výkonnostních parametrů
přesoběcích na nástroj.

2. Shrnutí základních poznatků z obrábění izolačnicky lze- vané keramiky

2.1. Úvod do keramiky

Keramika sice dnes v sobě zahrnuje mnoho různých výrob, které se svým technologickým charakterem a vlastnostmi výrobků vztahují znatně odlišují. Mezi nejvzácnější keramiku patří keramika stavební, žáruvzdorná, udržovnická, užitková a díky nové keramické výrobky pro účely elektrotechniky, výroba keramických kondenzátorů, keramických feromagnetických materiálů a speciálních kysličníkových hmot.

Výrobky z elektrotechnické keramiky jsou nezbytnou součástí řady elektrotechnických zařízení když při rozvodě elektrické energie v rozvodných a na linkách, pro slaboproudé elektrotechnické zařízení, elektrické potoče apod. Výroba elektrotechnické keramiky je klíčevou výrobou, na které závisí rozvoj mohoucího hospodářství, zejména průmyslu, dnes velmi elektrifikovaného.

Vyrábíme keramické hmoty pro nízké, vysoké a velmi vysoké napětí a keramické izolátory pro rozvod elektrické energie. Hlavní používánou hmotou je klasická hmota-elektropercelán. Do další skupiny zařazujeme keramické hmoty a sondy pro slaboproudou a vysokofrekvenční elektrotechniku. /3/

2.2. Přehled o obrábění keramických hmot

Obrábění keramických hmot je znacně odlišné oproti obrábění kovů a patří mezi nejobtížnější a nejnáročnější hmoty keramické technologie. Mnohé výrobky mají tak složitý tvar, že je možné je vyrobit jen obráběním. K této skupině patří i vše a vše izolátory.

Technologie obrábění keramických hmot se dělí podle stavu před obráběním na dvě základní skupiny - obrábění keramických hmot před konečným výpalem a obrábění vypálených keramických součástí. Tedy rozhodujícím zníkem je výpal, při kterém ve stopech probíhají fyzikální a chemické pochody, které mají vliv na konečné vlastnosti. Z charakteristických vlastností je to především značná tvrdost, křehkost a vysoká absorbnost keramického stupně. Tyto vlastnosti patří mezi ty, které nejsou vhodné k obrábění. Proto je snahou keramické technologie provést většinu obráběcích operací před konečným výpalem a po výpalu obrábění omezit na nejmenší míru, nutnou jen pro zlepšení přesných rozměrů a jakosti povrchu.

Abyste tedy mohli dospět k novypálenému stavu při technologii mokrého způsobu, je nutno paletovar k obrábění vhodně upravit. Nejjednodušší úprava je částečné odstranění vlnkosti a paletovar provedeno s původního plastického stavu a vlnkostí asi 20 % do tzv. kalovitého stavu s vlnkostí 13 až 18 %. Paletovar se přestaví vlnatní vahou deformovat a je schopen obrábění. Další využití je vlnkost pod 3 % se paletovar zpevní, zvýší se jeho pevnost v chybu.

Pro zvýšení mechanické pevnosti se do eurovinové směsi přidávají metylecelulóza, sulfitový lach a další. Tato upravený paletovar lze soustrudit, vrtat, brosavit. Další zlepšení mechanických vlastností přináší impregnace vysušeného stupně parafinem a dále předčasný výpal /predčah/ na teplotě 600 až 1000 °C. při této teplotě probíhají však výrazné rozdíly, což má vliv na rozdíly vypáleného výrobku. /4/

Nejnovější způsob zpracování keramických hmot je zátiskový lisováním, kdy získáváme paletovar /hubl/ po předčasné suché granulaci. Získávají se však jen hrubé paletovary potřebující rozměry. Vynedou této způsobu je, že se nemusí opracování sušit, čím dochází k velkým úsporám tepelné energie a nedochází k deformacím při sušení a tedy i změně roz-

měru.

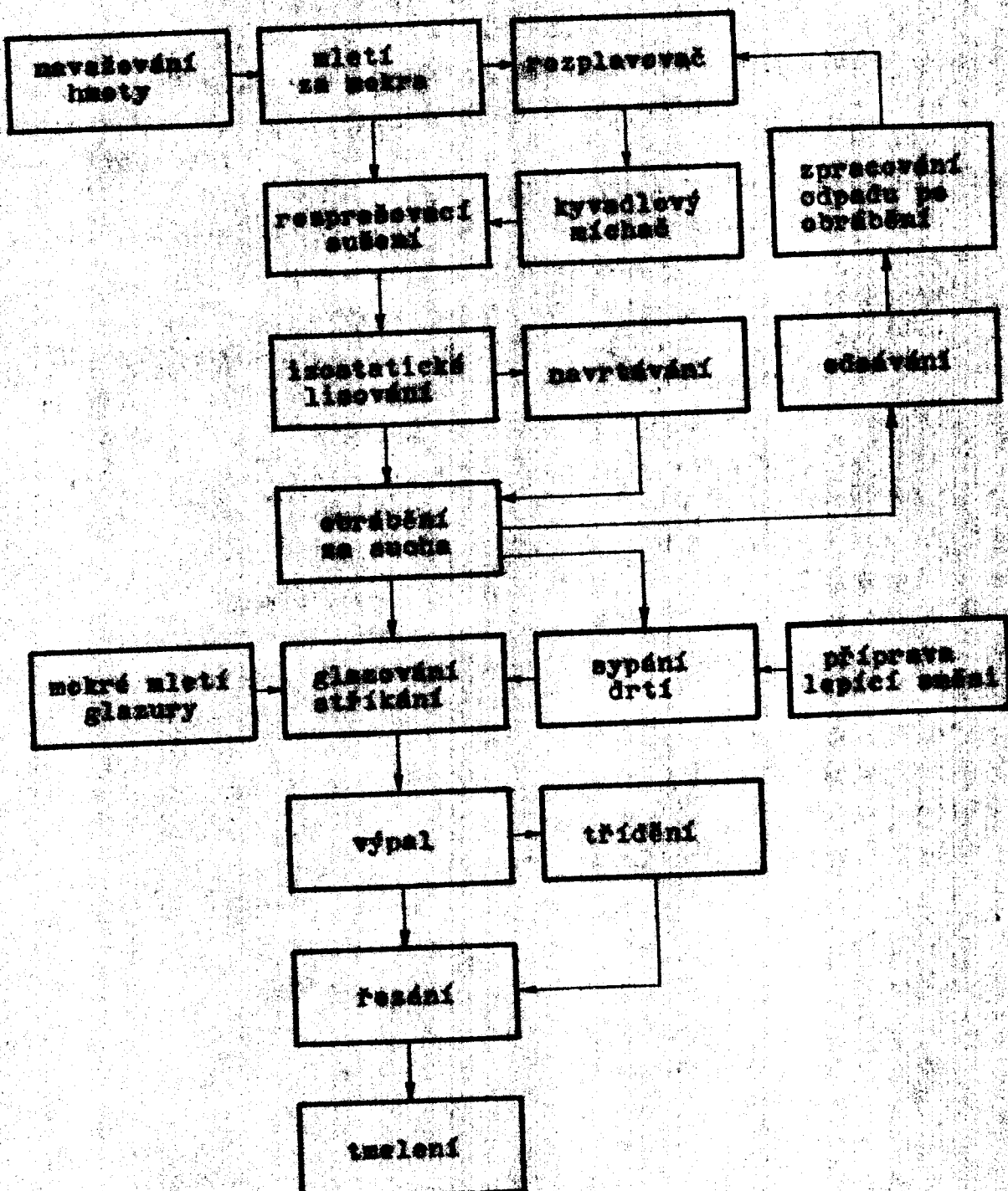
Obrábění izostaticky lisovaných hmot je v počátcích svého vývoje nejen u nás, ale i v zahraničí. Technologie obrábění keramických suchých hmot není dosud v tědne literatuře kompletně zpracována. Při teoretickém zpracování technologie obrábění keramiky vycházíme z poznatků při obrábění kovů.

Původní výroba keramických izolátorů v ČSSR byla provedena pomocí jednoúhlových strojů. Podíl ruční práce při obrábění se zmenšil zavedením mechanicky a hydraulicky ovládaných kopírovacích soustruhů. Při obou způsobech obrábění je nutno ručně zatískovat povrch. Další nevýhodou původní technologie je zmetkovitost vlivem rozptylné smrtění hmoty, dlouhá příprava výroby - výroba šablon a tvarových nožů. /10/

Nasazení číslicově řízených obráběcích strojů umožní odstranit některé nedostaty dospělých technologií a přispět k podstatnému zvýšení produktivity práce. Tuto novou technologii výroby na izolátorů soustružením pomocí číslicově řízených obráběcích strojů vyuvinuli ve VÚEK Mladec Králové a dále vyvíjejí. Neboť zavedení nové technologie si klade požadavky na výzkum řezných podmínek, řezných nástrojů a realizaci strojní jednotky.

Stroj je řešen jako portálový, třípolohový svislý soustruh. V jedné poloze se základá peletevar a výjima motory obrubek, v další poloze se obrubek hrubuje a ve třetí poloze se dovrší konečný tvar obrubku. Stroj je řízen NC systémem FMC 409.

2.3. Technologické schéma výroby izolantu /B/



2.4. Surovinevé složení hmot pro statické lisování keramiky

Elektrotechnický porcelán se vyrábí ze zvláštní pracovní hmoty, která se výrazně liší od užitkového porcelánu.

Složení hmot pro statické lisování se skládá ze tří základních komponentů: estřiva, pojiva, taviva.

Počet jednotlivých komponentů se pohybuje v rozmezí:

35 - 50 % estřiva / Al_2O_3 mineralizovaný/

20 - 40 % pojiva /jíly/

20 - 40 % taviva /snělec, živec/

Různou kombinací těchto komponentů jsou vytvářeny příslušné hmoty. Hlavní varianta - hmota M 50 S-2 je určena pro následnou výrobu technologií statického lisování, proto pouze ta při měření. Má následující složení: %

Al_2O_3 slovenský minerál	25
živec ŽP II	19
snělec Želenice	13
kaolin Podbořany	11
kaolin Sedlec	7
jíl JHD II	10
kalciový řemenet SLJ	15

Další hmotou na které bylo provedeno měření, má následující složení.

Surovinevé složení hmoty M 60: %

Al_2O_3 - mineralizovaný Al P ₃	35
snělec Želenice	7
živec Holánsky	20
jíl JHD II Jehnádno	20
řemenet SLJ	13
kaolin Podbořany	5

2.5. Vlastnosti keramických hmot

Na vlastnosti elektrotechnického porcelánu se klade především požadavky, zvláště na mechanickou pevnost, průrazovou pevnost a dielektrické ztráty. Těto požadavkům může vyhovovat jen výrobek dokonale spojený s rovnoměrnou strukturou a s minimálním množstvím pórů.

2.5.1. Vlastnosti v nevymáčeném stavu pro hmoty M 50 a M 60

	<u>M 60</u>	<u>M 50</u>
-zbytková vlnkost granulátu /%	0,9 - 1,4	1,4
-sypná hmotnost /kg.m ⁻³ /	990 - 1010	930 - 970
-setřesná hmotnost /kg.m ⁻³ /	1150 - 1165	1090 - 1130
-mechanická pevnost v chybě po vylisování - 125 MPa	1,55 - 2,1	1,3 - 2,0
výlisek - válec \varnothing 100 mm /MPa/		
-objemová hmotnost výlisku /kg.m ⁻³ /	2,16	2,02

2.5.2. Vlastnosti vymáčeného středu hmoty M 50

-nadákovost /% hmotnosti/	pod 0,1
-objemová hmotnost /kg.m ⁻³ /	2,35 - 2,50.10 ³
tlak - 125 MPa	
-měrná hmotnost /kg.m ⁻³ /	2,78 - 2,81.10 ³
tlak - 125 MPa	
-porozita /%/	10 - 15
-mechanická pevnost v chybě /MPa/ \varnothing 90 mm	64,5
-mechanická pevnost v chybě rázem /kJ.m ⁻² /	1,86
-střední měrná teplo /J.kg ⁻¹ .K ⁻¹ /	368
-střední teplotní vodivost /m ² .s ⁻¹ /	1,18.10 ⁻⁶
-měrná tepelná vodivost /W.m ⁻¹ .K ⁻¹ /	2,7

Podrobny popis jak sleteni, tak i vlastnosti je uveden
v /8/.

2461 Praktisch ohne Mischung zu verwenden

Cílem první etapy výzkumu bylo určení základních řemeslných podmínek a geometrie mästreje. Pro řešení téhoto problému je jedním z kritérií odvážnost velikosti jednotlivých článků řemeslné sily na řemeslných podmínkách a geometrii mästreje.

pro měření řezných sil byl použit siloměrný držák zkonstrukován pro mechanicky upínací řezné desetičky s osazenou tenzometrickou animaci. Siloměrný držák byl upnut v nášové hlavě kelma k osa paleťovaru. V této poloze byly animány směny silové řezné síly ve směru axiálním a vertikálním. Pro snímání měn řezných sil ve směru příslušu byl našový držák s nožovou hlavou postočen o 90° .

2.6.1. Vliv bezpečnosti podzemních místností na slevyky řezné sily

Specifické vlastnosti mají způsobují, že jejich obrábění soustružením má ve srovnání se soustružením kovů sice jiný charakter. Zjistěná závislost lze formulovat takto:

- maly fyzik edper dovoluje strabat tiskem velkého průřezu

- hlebka řezu má maximální vliv na složku řezné síly F_v . průběhy jednotlivých složek řezných sil vrátají se přibližně hlebce řezu přibližně lineárně. Dynamická složka řezné síly F_p vrátá méně než statická a složky řezné síly $F_f \approx F_p$ se udržují přibližně na konstantní hodnotě.
- pozor má podstatný vliv na složku řezné síly F_v , složky řezné síly F_p a F_f vrátají se zvětšujícím se posuvem jen nápravně. Stejné poměry platí i pro dynamické složky řezné síly.
- statické a dynamické složky řezných sil se vrátají ihned po rychlosti se udržují přibližně na konstantní hodnotě.

Podrobný popis vlivu řezných podmínek na jednotlivé složky řezné síly je uveden v /19/.

2.6.2. Vliv geometrie díla na složky řezné síly

Něření bylo provedeno na čestíckách s různými úhly čela γ resp. úhly řezu δ při měnění se úhlu nastavení χ . Zjištěná závislosti lze formulovat takto:

- největší vliv na změnu geometrie vykazuje statická a dynamická složka řezné síly F_v . Statická složka řezné síly F_v má klesající průběh pro úhel nastavení $\chi = 45^\circ$ do 60° při úhlech čela $\gamma = 5^\circ$ a 15° . Dynamická složka je nejpříznivější pro úhel čela $\gamma = 5^\circ$ a interval úhlu nastavení $\chi = 45^\circ$ až 85° .
- statická složka řezné síly F_p vrátá se zvětšujícím se úhlem nastavení χ pozvolna pro úhly čela $\gamma = 0^\circ$ až 15°
- pro statickou složku řezné síly F_p mají průběhy přibližně stejný charakter pro celé rozmezí úhlu čela γ od $+15^\circ$ do -15° a jsou charakteristické tím, že klesají výrazně v intervalu úhlu nastavení χ od 30° do 45° . Od úhlu nastavení $\chi = 45^\circ$ do 85° klesají pozvolněji.

- změna úhlu nastavení δ má vliv na dynamickou sílu sítka fyzně sily, neboť se mění poměr mezi tloušťkou a šířkou třísky.
- Střední hodnota vzájemného poměru velikosti sítka fyzně sily F_v a F_p vzhledem k velikosti tangenciální síly F_t , při soustružení střední velikosti třísek, pro $\delta = 45^\circ$, $t = 10$, $- 90^\circ$, pro inzertaticky lisovanou keramickou hmotu, vychází:

$$F_v : F_p : F_t = 1 : 0,8 : 0,45$$

Podrobnej popis je uveden v /10/.

Poznámka:

Všechny vyše uvedené závislosti platí za danych fyzných podmínek.

2.6.3. Navrhování řezných podložek a geometrie břitových destiček

Z výsledků měření fyzných sil byl pro použitou technologií obrábění vybrán rozsah hodnot základních fyzných podmínek a úhlů geometrie nástroje.

- řezná rychlosť $v = 50 - 260 \text{ m} \cdot \text{min}^{-1}$
- posuv nože $a = 0,085 - 1,6 \text{ mm} \cdot \text{st}^{-1}$
- příčný nože
- úhel hřbetu $t = 3 - 70 \text{ mm}$
- úhel čela $d = 15^\circ$
- úhel nastavení hlavního ostří $\gamma = 5^\circ - 15^\circ$
- úhel nastavení vedlejšího ostří $\alpha = 45^\circ - 60^\circ$
- úhel sklonu ostří $\beta = 45^\circ - 30^\circ$
- úhel špičky řezné destičky $\lambda = 0^\circ$
- úhel špičky řezné destičky $\varepsilon = 90^\circ$ jen pro hrubování
- poloměr špičky řezné destičky $R_{max} = 1,5 \text{ mm}$ pro hrubování
 $R_{max} = 4 \text{ mm}$ pro tvárování //

Navrhovaný tvar břitových destiček nelze však do důsledku použít pro strojní jednotku SO 1-NC. Nově navrhované produkční nástroje byly použity pro měření a jsou popsány v kap. 4-3-3.

2.6.4. Opatřebení nástroje

Při obrábění izostaticky lisované keramiky převládá mechanicko - abrazivní opatřebení nástroje vlivem postupného mechanického narušování mikronerovnosti povrchu funkčních ploch nástroje. Abrazivní opatřebení probíhá za nízkých teplot. Tvrzé sleňky struktury obráběného keramického materiálu /hlavně Al_2O_3 / odřezávají nebo odlamují jednotlivé sleňky z povrchu nástroje. Důležitou úlohu hraje mikrotvrdeost jednotlivých strukturálních složek, která přímo ovlivňuje míru mechanického opatřebení.

Při obrábění izostaticky lisované keramiky destičkou ze slinutého karbidu se tvrdými zrny Al_2O_3 , obsaženými v keramické hmotě, stírá kobalt. Tím se perouje soudržnost krystalů karbidu a dochází k jejich vylamování. Obdobně jako při obrábění křehkých materiálů, tak i zde převládá opatřebení hřbetu. Nevzniká souvislá tříka, ale odřezávaný materiál odletí z místa řezu v podobě jemných zrn. V důsledku odletu též intenzita opatřebení je největší na hřbetu nástroje. Při obrábění jsou některé částice obrušovány, které ve styku s řezným materiálem, jiné zcela vytrhovány z materiálu. Při vytříbení částice v další části vystupují do vzájemného styku částice nové, s větším abrazivním účinkem, než mají částice již obrušené. Ke spevnění materiálu zde pravděpodobně nedochází, ale stejně dochází k pěchování již uvolněných částic. Podrobný popis, další výsledky jsou uvedeny v /11/.

2.6.5. Porovnání nástrojových materiálů

Cílem úkolu bylo určení nejvhodnějších nástrojových materiálů pro dané řezné podmínky. Úkol byl řešen určováním trvanlivosti u jednotlivých nástrojových materiálů.

Z měření opatřebení uvažovaných nástrojových materiálů

vyplyvá, že oblast doporučené rychlosti řezu $150 - 260 \text{ m} \cdot \text{min}^{-1}$ lze rozdělit na tři pásmá:

- v I. pásmu 50 až $80 \text{ m} \cdot \text{min}^{-1}$ vykazuje největší trvanlivost komposit P 500B, za sliatých karbidů pak HIP Ceramant a K 15. Nejnižší trvanlivost vykazuje řezní keramika.
- ve II. pásmu 80 až $110 \text{ m} \cdot \text{min}^{-1}$ je opět nejlepší komposit P 500B, následující trvanlivost je u řezní keramity SK 30 a sliatých karbidů HIP Ceramant a P 30. Nejnižší trvanlivost mají sliaté karbidy K 10 a P 20.
- III. pásmu 110 až $260 \text{ m} \cdot \text{min}^{-1}$ nejlépe vyhovuje řezní keramika. K ní se významně trvanlivosti přizpůsobuje i komposit P 500B. Sliaté karbidy mají s něčem horší trvanlivost. Nejvíce se projevily sliaté karbidy K 10 a P 20.

Celkově lze hodnotit jako nejvhodnější nástrojový materiál kubický nitrid báru - komposit P 500B. Použití tento materiálu ve výrobě va izolátorů nedává žádné problémy a objekt a vlastní výrobu a tvarování destiček z kompositu. Když výrobě a použití této techniky se jeví jako nejvhodnější mikrozrnný keramid, vyvinutý ve VÚEK Brno-Královo Pole. /7/

Poznámka:

Všechny uvedené závislosti platí za daných řezních podmínek a pro používání nástrojového materiálu.

3. Vliv měření na výkon

Měření číselového charakteru obráběních strojů přispívá k podstatnému zvýšení produktivity práce. Tyto stroje nejen zastavují nezbytnou ruční práci obalujících pracovníky, ale i zkracují výrobní časy hmotných a pomocných operací.

Důležitost měření je však velmi možnostivá a složitá, má na ně vliv velký počet různých činitelů. Pro praktické účely může v kvahu jen základní činitele a vazby, které charakterizují a určují průběh procesu obrábění. Mnohé činitelů je ovšem určeny, jiné mohou volit. Tyto činitelů je nutné znít, aby bylo možno přistoupit odpovídající k řešení nového uplatnění obrábění.

Má-li být realizováno měření veličin vyvolaných nejméně procesem a přesnějším na stroj a nástroj, pak musí být nejdříve proveden jejich výběr, zhodnocení jejich významnosti. Potom následuje měření a následné zhodnocení získaných parametrů a srovnání s parametry získaných při obrábění kova.

Do objemu teorie obrábění lze zařadit problémy tvary trásky, rozměrů sil, tepla a teploty řezání, chvění, opakování, izvanlivosti, obrabitevnosti a rezistence.

Do objemu projektování řezných nástrojů pak zařadit otázky řešení řezných materiálů, řezných úhlů, tvarování tráty a části nástroje, tvarování a objemového koeficientu tráty.

Z představeného množství veličin je nutné určit ty, které jsou pro obráběcí proces významné a jim věnovat nalezenou pozornost. Některé významné veličiny zahrnout do konstantních podmínek provedené zkoušky.

Úkolem předešlých měření, jak vyplývá z kapitoly 2.6., bylo určení základních řezných podmínek, geometrie nástroje a řezného materiálu. Z výsledků měření byly navrženy produktivní hrubovací a tvarovací nástroje. Na těchto nástrojích by-

je provedeno měření, které zahrnuje na oblast teoretickou.

Protože svou pověrnost zastupujeme na městský, pak rovnocennou bude v platnosti, jak vyvolávají mechanické a tepelné zatížení britu.

Pod mechanické zatížení britu zahrnuje měřky rezonanční sily F_v , F_x , F_p a chvění, vyjadřené jeho amplitudou.

Vnějším projevem tepelného zatížení je tepločet rezonanční.

Tento, i když ze první pohledu zřejmý výběr, poskytuje přesto dostatečnou informaci o zatížení britu jak tepelném, tak i mechanickém.

Měření velikosti elektrické rezonanční sily bylo do výběru zahrnuto proto, že zábařených sil si lze nejlépe přimíchat všechny znaky, které v procesu měření využívají. Současně lze některé elektrické použít k dalším výpočtům, např. středního měrného zatížení.

Dále do výběru bylo zahráno chvění, protože je prvním, který charakterizuje stabilitu procesu obrábění. Pro tuto posouzení obvykle dostačuje měřit pouze amplitudu chvění, což podává rozhodující informaci o průběhu obrábění a vlivech na tento proces působících. Jenže při měření sloužek rezonančních sil odhadováme vedení statických i dynamické hodnoty, pak vlastní měření chvění se jít nemusí provádět, neboť dynamické hodnoty vykazují velikost chvění.

Měření tepločet rezonanční při obrábění je statisticky lisované keramiky dosud nebylo provedeno a to byl jeden z důvodů, proč tepločet zahrnute do výběru i když metody měření tepločet nepatří mezi nejpřesnější. Z měření sil prováděných na statisticky lisované keramice, které o proti silám při obrábění kvůli jenom řádově menší, lze uvažovat, že i tepločet bude řádově menší. Její velikost se však ani přibližně neznala.

Maiším důvodem měření tepločet byla te, že keramické rezonanční čestidky, které jsou přímo mechanicky upnuty, jsou na zadní plášť nepřímo stříbrnou suspenzí a připájeny na keramické podložky cínovou mělkou pájkou /210 °C/. Někdy došlo k

utřením britové destičky od kovové podložky. Lze usuzovat, že teplovy řezání překročila teplotu pásky, došlo k natažení pásky a rozsejení.

Teplovy řezání nemá užívání směny, jelž probíhají při realizaci procesu ohřívání. Soudobou lze z výše teploty řezání usuzovat na teplotní pole soustavy nástroj - obrobek - triaka a dále na množství tepla, které se zde vyvine, a tudíž i na teplostní zatížení hřitnu.

Použití měření vyhodnocujeme, aby metoda v daných podmínkách byla maximálně spolehlivá a přesnost výsledků pro daný případ vyhovující. Dále měřeb měření musí být zvolen tak, aby podstatně neovlivnil sestavu studovaný proces. Je nutné použít spolehlivých, ale zdrojem běžně dostupných přístrojů, případně dalších zařízení, která je možné v běžně zajišťujících vývojových laboratorních vyrobít.

4. Zpracování výsledky měření vlastních zákonů a vyhodnocení

4.1. Měření plánování experimentu

Účelné plánování experimentu dává možnost pro efektivizaci provádění vlastních experimentů, spracování měřených dat a vyvození návěrů z pokusu, neboť úkolem plánování experimentu je strukturizovat rozsah experimentu na nejkratší možnou míru, která však musí poskytovat výsledky experimentu v požadované přesnosti.

Tradiční způsob vedení experimentu je takový, že všechny uvažované faktory jsou konstantní, a vyjmačen jednoho, jehož vliv na konkrétní proměnnou zkoumáme. Po experimentálním určení vlivu této jedného faktoru na nezávisle proměnnou se přikročí ke zkoumání vlivu druhého, třetího atd. faktoru na nezávisle proměnnou. S pomocí moderních statistických metod je však možné plánovat pokusy tak, že je zkoumán vliv řady faktorů na nezávisle proměnnou současně.

Určování počtu dřevních faktorů je velmi důležitý krok v plánování experimentu. Na správné volbu počtu dřevní jednotlivých faktorů bude záviset rozsah / počet buněk / a také možnost využití celého pokusu. Jestliže jsme schopni předpokládat lineární závislost, pak stačí volit pouze dvě dřevní faktory. Obdobně pro kvadratickou závislost stačí volit tři dřevná, pro kubickou čtyři apod. S možností funkci lss pracovat jako s funkcí lineární, protože po logaritmování obdržíme rovnici přímky v logaritmických souřadnicích. Jestliže nejsme schopni s dostatečnou přesností odhadnout charakter závislosti, pak volíme raději funkci vyššího řádu.

Při určování jednotlivých dřevní faktorů se musíme volit jednotlivá dřevná tak, aby rozdíly mezi velikostmi mezi jednotlivými dřevnými byly stejné ve zlineárisovaném tvaru přísluš-

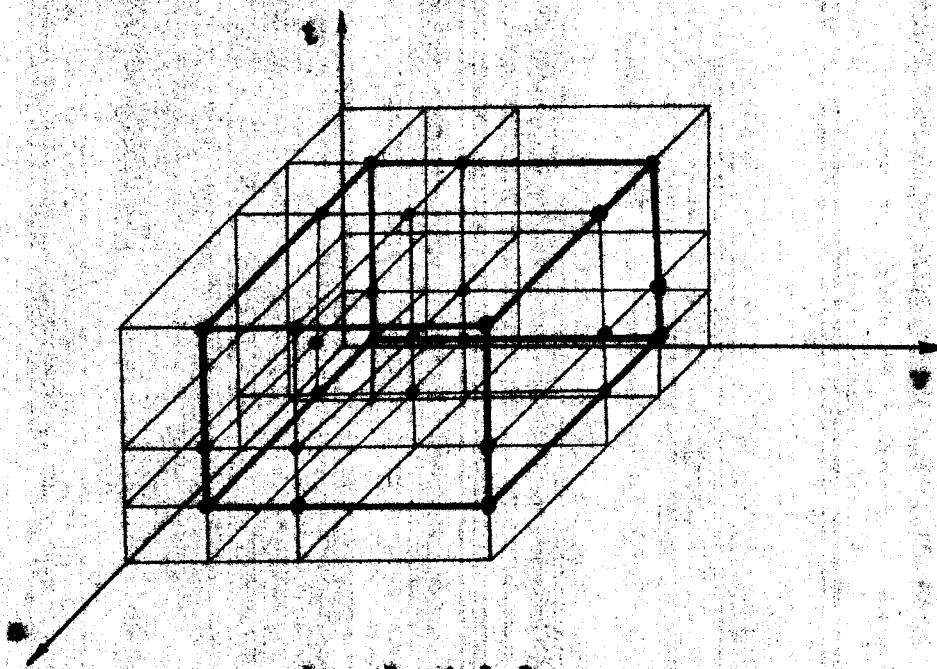
né funkce, neudáte tvar funkce dovolí. Jinak jednotlivé d-roviny určíme odhadem z daných známých poznatků o obrábění. Z několika minimálních a maximálních podmínek určíme užlové body. Stavovní množnostních úrovní faktoru ve vymezené oblasti měření, pro případ, že každý faktor bude mit tři úrovně, se provádí dle vztahu:

$$x_p = e^{\frac{\ln x_{\max} + \ln x_{\min}}{2}}$$

Strukturální model bude mít pro naše případ měření očí dvacetnásobnou hustotu. Funkční model pro naše měření bude totéž s modelom strukturálním. V tomto případě se tedy jedná o dvojnásobný funkční model. Počet úrovní byl zvolen tři a počet experimentálního modelu, tzw. experimentální model, $n = 2$.

Zvolíme-li malý počet n , může být výsledek měření ovlivněn měřicími chybami. Zvolíme-li velký počet n , doba experimentu se mezičasem zvyšuje. Velmi často si volí experimentální počet n ohodněm.

Zadání množiny měření



obr. č. 4.1.1.

4.2. Metoda nejmenších čtverců

Pod přírodním k eventuálnímu studovanému vztahu závislé a nezávis. provést analýzu nesítěných hodnot. S tím vždy existuje vztah mezi nezávislou a závislou výsledkem experimentálně sjistěných h. hysterech.

Pro vyjádření funkce sily se používá exp. vztahu:

$$F = c \cdot e^x \cdot a^y \cdot v^z \quad /1/$$

Chceme-li stanovit konstanty c, x, y, z co nejpečlivěji pro využití nesítěných hodnot podmítnku, aby součet čtverců odchylek vyjádřených hodnot od hodnot skutečně nejistěných byl minimální. Aby bylo aplikovat metodu nejmenších čtverců, musíme provést linearizaci vztahu /1/ zlogaritmováním.

$$\ln F = \ln c + x \cdot \ln t + y \cdot \ln a + z \cdot \ln v \quad /2/$$

pro snadnější vyjádření vztahu zavedeme transformaci:

$$\ln F = K$$

$$\ln c = C$$

$$\ln t = T$$

$$\ln a = S$$

$$\ln v = V$$

Vztah /2/ po transformaci bude mít tvar:

$$K = C + x \cdot T + y \cdot S + z \cdot V$$

Součet čtverců odchylek pak bude mít tvar:

$$\sum_{i=1}^n /K_i - K_i/^2 = \min.$$

$$X_i = \ln F_i - \text{ologaritmovaná hodnota akutečně získaná z měření}$$

$$\tilde{X}_i = C + x.T + y.S + z.V - \text{ologaritmovaná hodnota vyrovnaná transformací funkci}$$

Pro řešení této rovnice, kde užití konstant C , x , y , z , musíme dálé sítat dalších $n=3$ rovnic, neboť hledáme osm funkce o n+1 neznámých. Ty získáme parciální derivaci funkce dle parametrů C , x , y , z , derivace poletíme rovny na funkce. Problém tak převodíme na řešení soustavy lineárních rovnic, kterou lze řešit ručně nebo pomocí počítače.

Soustavu rovnic lze zaplat v maticovém tvaru:

$$\begin{vmatrix} n & \sum T_i & \sum S_i & \sum V_i \\ \sum T_i & \sum T_i^2 & \sum S_i T_i & \sum V_i T_i \\ \sum S_i & \sum T_i S_i & \sum S_i^2 & \sum V_i S_i \\ \sum V_i & \sum T_i V_i & \sum S_i V_i & \sum V_i^2 \end{vmatrix} \begin{matrix} | \\ | \\ | \\ | \end{matrix} \begin{matrix} C \\ x \\ y \\ z \end{matrix} = \begin{vmatrix} \sum F_i \\ \sum F_i^2 \\ \sum F_i S_i \\ \sum F_i V_i \end{vmatrix}$$

Řešení soustavy rovnic získáme přímo konstanty x , y , z . Chceme-li získat konstantu C , musíme provést zpětnou transformaci:

$\dots \cdot C$

4.3. Měření řezných sil

Měření řezných sil při obrábění má nejen praktický, ale i teoretický význam. Teoretické poznatky o řezných silách napomohou teorie a řeznému procesu. V praxi jsou nase poznatky o řezných silách důležité při konstruování nástrojů, při volbě řezných poměrů, při výpočtu a konstruování obráběcích strojů.

Měření sil při obrábění je zpravidla založeno na měření deformací, způsobených silami vznikajícími při obrábění. Tyto deformace jsou v dobré konstrukčního stroje velmi malé. Je proto nutné vložit do systému stroj - nástroj - obrabek člen měnné tuhosti - dynamometr - jehož deformace a hledané měření je dostatečně veliká, při tom však nemá zkreslovat obráběcí proces velikou chybou. Základním problémem při konstrukci dynamometru je proto volba správného kompromisu mezi tuhostí a citlivostí.

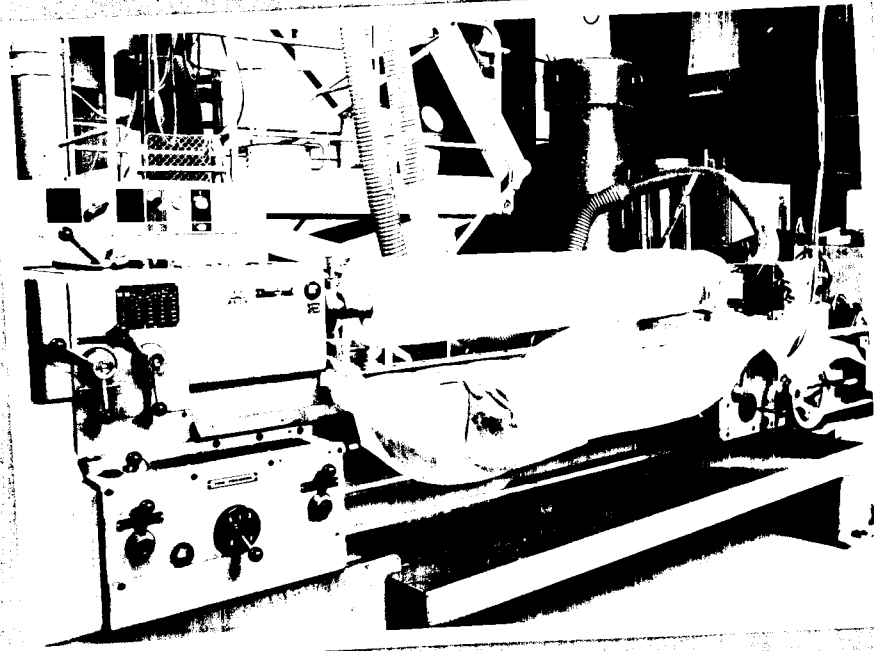
Pro přímé měření řezných sil se používají siloměry sva-
ně též dynamometry různé konstrukce a různých měřicích prin-
cipů. Siloměr může být konstruován tak, že se měří jen jedna
nebo více slouček výsledné řezné síly. Podle toho rozděláváme
jedno-, dvoj-, triplexkové dynamometry.

4.3.1. Použití nástroje a zařízení

- 1/ Obráběcí stroj SN 50 B
- 2/ Nástroje
- 3/ Zkušební materiál
- 4/ Triplexkový dynamometr
- 5/ Tensionmetrické měřítka
- 6/ Osciloskop
- 7/ Snyčkový zapisovač
- 8/ Odavačí zařízení

4.3.2. Obráběcí stroj

Ke zkouškám byl použit univerzální hrotový soustruh, jehož technické parametry byly určovány pro provedení zkoušek.



obr. 4.3.2.1. Univerzální hrotový soustruh

Technické parametry soustruhu:

Typ:

SN 50 B

Výrobce:

n.p. TOS TRENČÍN

Oběžný průměr nad ložem:

500 mm

Oběžný průměr nad suporem: 270 mm

2060 mm

Vzdálenost hrotů:

50,8 mm

Vrtání vloženou:

$12/45 - 2000 \text{ ot} \cdot \text{min}^{-1}$

Otačky vloženou - rozsah:

38 stupňů

Pozuvy podélné - rozsah:

zmíšení + 2:1

Pozuvy příčné - rozsah:

6,6 kW

Výkon motoru:

4.3.3. Měření.

Pro měření byly použity dráhy nežů, s kterými se současně pracuje na obráběcích strojích a u kterých je předpoklad dálšího rozevoje.

Jako městře byl použit drážák s mechanickým upínáním přilehlého řezného deštičky.

Pro měření byly použity následující nože:

Hrubovací nůž č. 1; obr. 4.3.3.1.

Geometrie městřeje: - úhel hrabotu

$$\alpha_0 = 15^\circ$$

- úhel řezu

$$\gamma_0 = 15^\circ$$

- úhel řezu

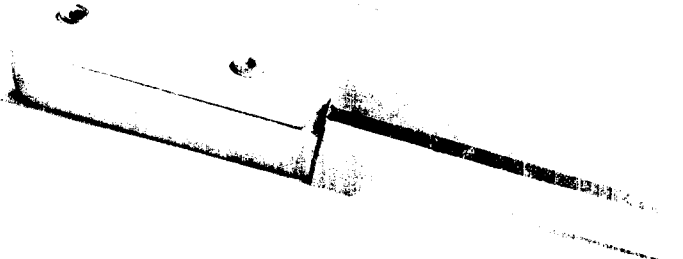
$$\delta_0 = 75^\circ$$

- úhel sklopnosti

$$\lambda_p = 0^\circ$$

- úhel nastavení

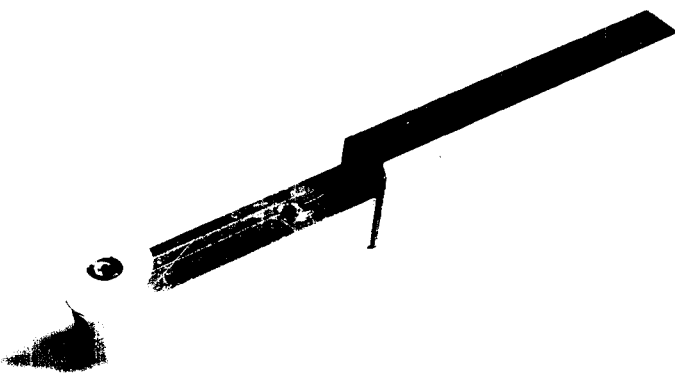
$$\beta_p = 90^\circ$$



obr. 4.3.3.1. Hrubovací nůž

Základní můž obr. 4.3.3.2.

Geometrie měřítka:
- úhel mřítka $\alpha = 15^\circ$
- úhel řeza $\beta = 15^\circ$
- úhel řezu $\delta = 75^\circ$
- úhel sklonu ostrí $\lambda = 0^\circ$
- poloměr upevnění $R = 12,5 \text{ mm}$



obr. 4.3.3.2. Tvarovací můž

Parametry materiálu:

Pro měření byly použity keramické měřné součástky vyrobené ve VÚKU Keramik Brno-Kralovice. Materiál - mikrokrystallinický keramik, který má tyto vlastnosti: měrná hmotnost... $0,351 - 0,397 \text{ g} \cdot \text{cm}^{-3}$
pevnost v ohýbu...min. $4000 \text{ N} \cdot \text{mm}^{-2}$
tvrzost..... $2,1 \cdot 10^3 \text{ N} \cdot \text{mm}^{-2}$
přibližné složení... $99,8\% \text{ Al}_2\text{O}_3$
vypalovací teplota 1400°C

Rozměry částíku:

- hrubovací: délka - 94 mm
- šířka - 20 mm
- výška - 8 mm

- tvarovací: průměr - 25 mm
- výška - 8 mm

4.3.4. Zpracování materiálu

Ke zkouškám byly dodány dva izostaticky lisované bublky z vývojových hmot N 50 a N 60.

Lisovací tlak pro obě hmoty 125 MPa.

Rozměry hubliků:

- průměr $\text{d} = 260 \text{ mm}$
- délka $l = 1650 \text{ mm}$

Chemické složení a vlastnosti v novypáleném stavu pro oba huble jsou uvedeny v kap. 2.4. a 2.5.

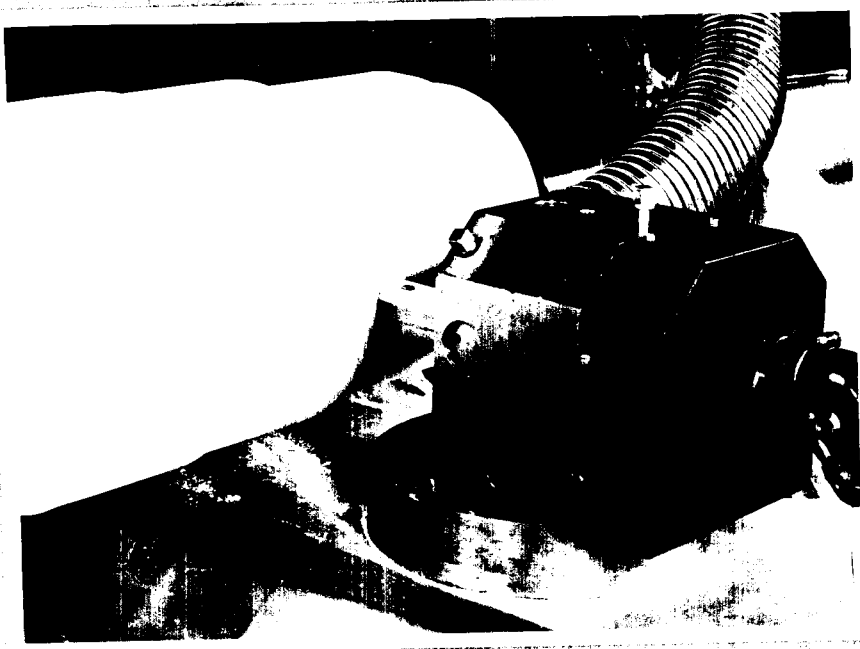
4.3.5. Měření přistínění a zatížení

a/ Pomoc a měření s dynamometrem

Pro měření byl použit triplexkový dynamometr s drátovými odporovými tenzometry. Vyrobeny byl n.p. Elektropercelán Čab, a to pro jemné sezontrukce. Z předešlých měření víme, že při obrábění izostaticky lisované keramiky se významně sily posouvají malé, dany rozsah by tedy měřitovat mal při velkém zatížení. Proto bylo nutné měnit měřicí rozsah a dynamometr rekonstruovat.

Dynamometr se skládá z vlastního tělesa volně vysoké trubosti, v něm je uložen drátový nož a tento je vpravo podpírána měřicími článek, nachycující rukouc síticek řemek sily F.

$\approx F_p$. Vzadu je uchycen držák křížovou pružinou zachycující reakci slečky F_p . Celkový pohled na dynamometr je na obr. 4.3.5.1. a celkové schéma konstrukce na obr. 4.3.5.2.

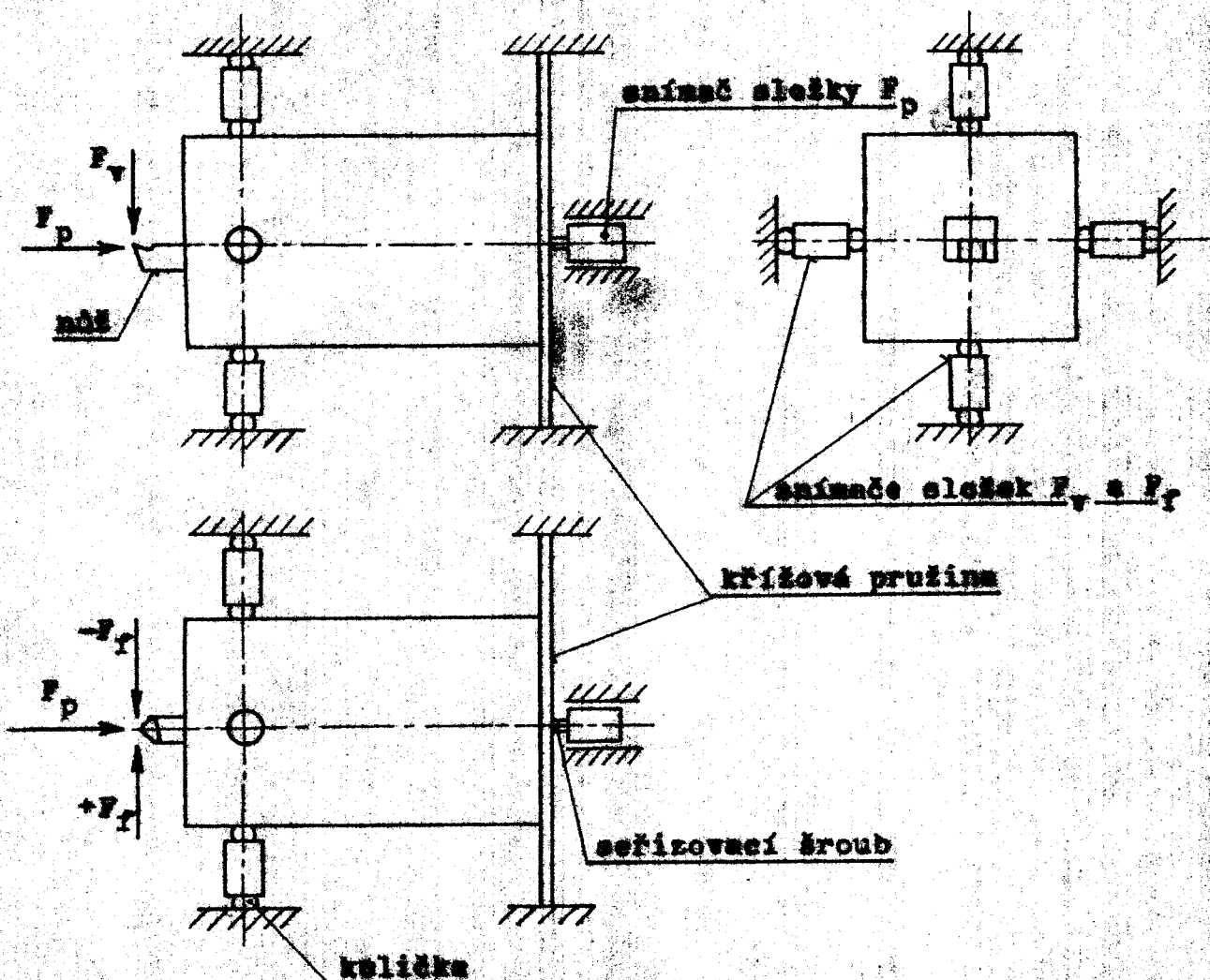


obr. 4.3.5.1. Dynamometr

- 1 - tělo dynamometru
- 2 - soustružnický nůž
- 3 - kryt držáku nože /ochrana proti třískám/
- 4 - upínací šrouby nože
- 5 - šrouby vyvraždající předpětí animací sleček F_v a F_f

Nenabytnou součástí dynamometru je cejchevací zařízení, které se skládá:

- cejchevací klíč
- cejchevací hranol
- třmenový milimetr s úchytkou
- šrouby resp. závazí k zatěžování



obr. 4.3.5.2. Schéma konstrukce dynamometru

Sninate elektor fyzické sily F_v a F_p jsou trubkové, namáhané směrem na tlak. Jsou předpjaty sérizovacími šrouby v tělese dynamometru.

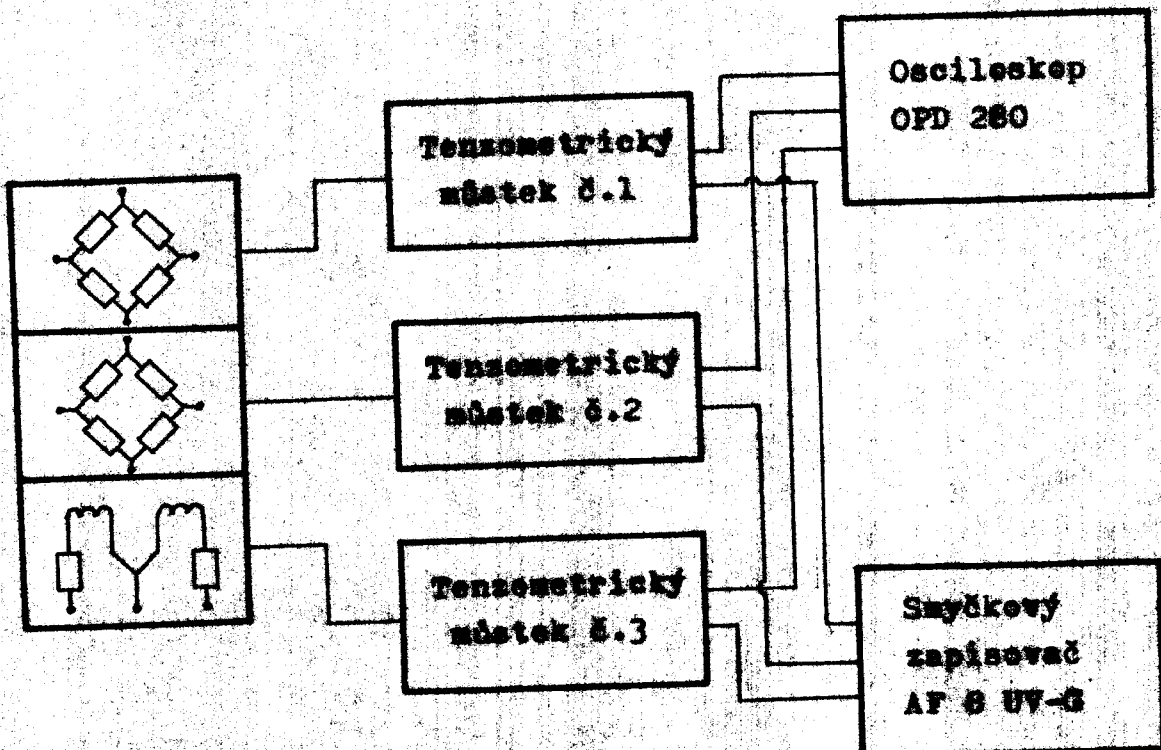
Sninací pro elektro fyzické sily F_p je indukčního typu. Sérizovací šroub, pro vymazání nulové polohy jádra sninace, přenáší tři průhry kritové pružiny na jádro sninace.

b/ Blokové schéma zapojení měřicích přístrojů

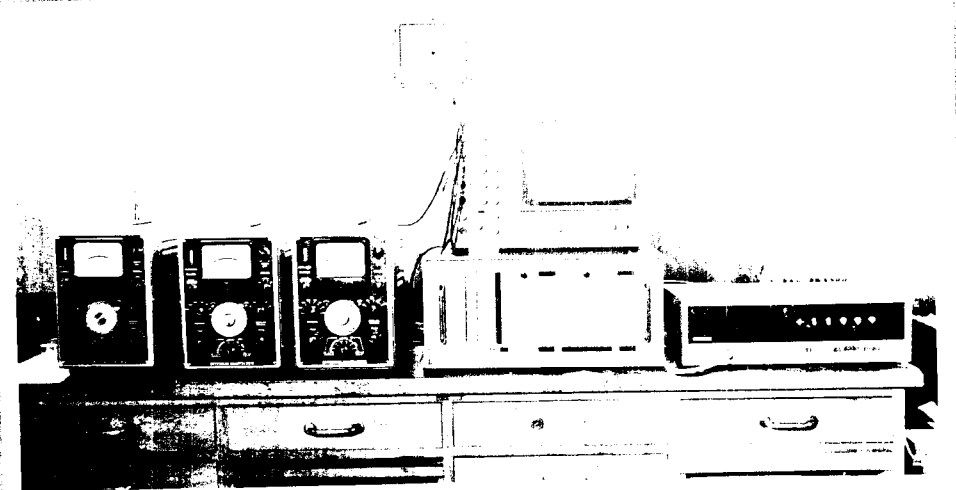
Blokové schéma zapojení celého měřicího systému je na obr. 4.3.5.3. Změny odporu tenzometrických snímačů a indukčního snímače jsou velmi malé, a proto se musely zesilovat. Pro registraci bylo použito tří střídavých tenzometrických můstků o nosné frekvenci 5 kHz, firmy Mettinger - Mesatechnik, typ KWS II/5.

Údaje byly registrovány vizuálně nebo snyčkovým zapisovačem typu AF 8 UV-G, výrobce A. Fischer KG Gettingen.

K aparaturě byl připojen osciloskop OPD 280, výrobce TE-SLA, na kterém byla provedena vizuální kontrola. Celkový pohled na měřicí přístroje je na obr. 4.3.5.4.



obr. 4.3.5.3. Blokové schéma zapojení



obr. 4.3.5.4. Pohled na měřicí přístroje

4.3.6. Metodika měření silek rezné síly

Před vnitrním měřením je nutné provést cejchování jednotlivých silek rezné síly. Dle použitého dynamometru může být cejchovací zařízení různé konstrukce. Cejchování se provádí buď mimo soustruh resp. přímo na soustruhu. Vždy však provádět pro zatížování a odlehčování a z naměřených hodnot sestrojit cejchovní křivku. Jestliže byl postup správný, je získaná závislost přímková. Po cejchování se nemá manipulovat a vyvážením mostů, je možno jen ještě deladovat na nulu, případně přepnout rozsah zasílení.

V případě cejchování mimo soustruh se dále provádí demontáž nožového supertu soustruhu a montáž dynamometru na toto místo. Následuje upnutí zkoušebního materiálu na soustruh, srovnání povrchu, upnutí zkoušebního nástroje do dynamometru a ustavení na správnou výšku. Nutné změřit výšení pro počet naměřených sil na skutečné síly.

Obrábění prováděme dle předem stanoveného programu a naměřené hodnoty zapisujeme do tabulek. Pro sestrojení průběhu

změn složek řezné síly na zkoumané veličině a konečné vyhodnocení, je nutné převést naměřené hodnoty /mV, délky/ na N /newtony/ u jednotlivých složek řezné síly.

4.3.7. Odečítání hodnot ze záznamu smyčkového zapisovače

Měření a záznam jsme provedli smyčkovým zapisovačem AF 8 UV-G, který je vybavený světlocitlivým fotopapírem, po osvětlení vyvolatelný. /obr. 4.3.7.1./

Z uvedeného záznamu můžeme vyčíst:

- statické hodnoty složek řezné síly F_v , F_f , F_p
- dynamické hodnoty složek řezné síly F_v , F_f , F_p
- amér působení sil /+, -/
- frekvence dynamických hodnot

Jelikož jsme schopni ze záznamu odečíst dynamické hodnoty, které nám vykazují amplitudu chvění, není nutné provádět vlastní měření chvění, které založeno na podobném principu – vhodný snímec připevněn k měřenému nástroji.

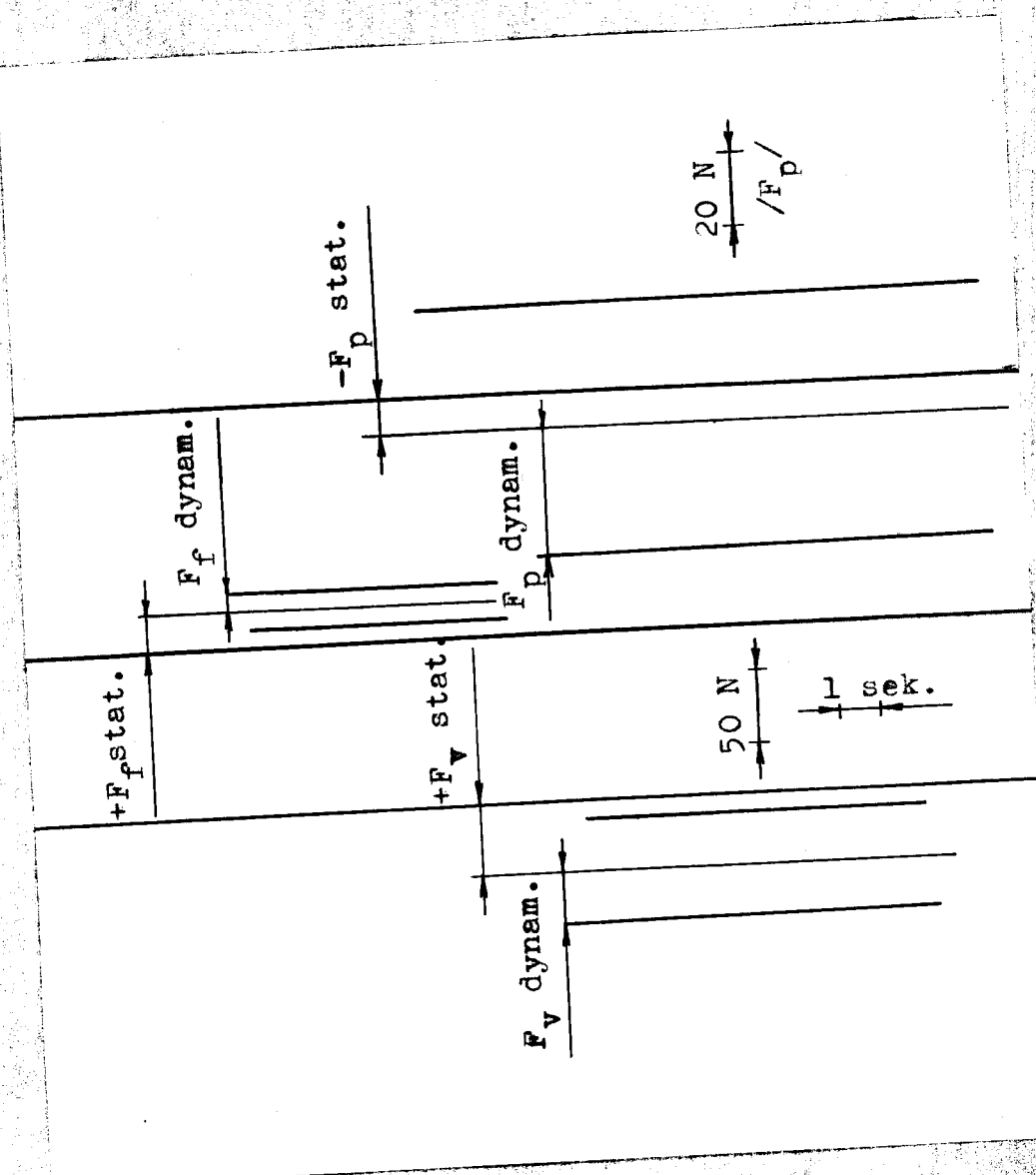
Velikost amplitudy chvění závisí na tuhosti soustavy stroj – nástroj – obrobek. Tedy změnou průřezu drážku resp. změnou vyletíení nástroje se amplituda mění. Jestliže bychom chtěli znát skutečnou amplitudu chvění, je nutné aparaturu ocejchovat. Ve většině případů, porovnávání nástrojů nebo zkoumání vlivu řezných podmínek na chvění nástroje, vystačíme se zjištěním relativní velikosti amplitudy a aparaturu pak není nutné ocejchovat. Během měření se však nesmí měnit citlivost přístroje.

V případě, že při měření stačí znát pouze statické hodnoty složek řezné síly, pak jsou tyto hodnoty odečítány přímo z tenzometrických městsků.

Použití měřítek na smyčkovém zapisovači:

- pro složky F_v a F_f : 500m - mm = 5N, 1 dílek - 10N

- pro složku T_p : $100x - 1 \text{mm} = 2\text{N}$, 1 dílek = 4N
- poslední osa: 1 dílek = 1 sek.



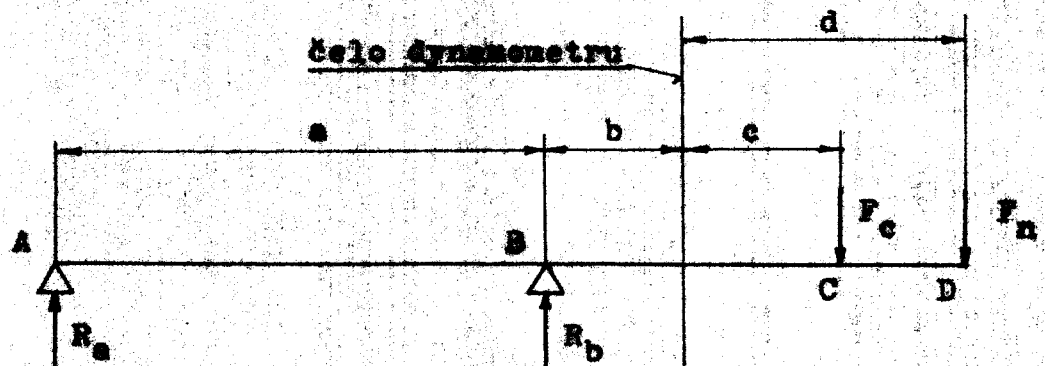
obr. 4.3.7.1. Grafický zákon sil

4.3.8. Přenést měřených sil na skutečné sily

Měřené sily smyčkovým zapisovačem resp. tenzmetriicky

mi můstky, neodpovídají skutečným silám působících v těžišti odebírané trásky, jelikož jsou cojehovali při jiném vylezení.

Ve skutečnosti se mohou naměřené síly v poměru rovnat vylezení při cojehování a při měření. /obr. 4.3.8.1./



obr. 4.3.8.1. Sílové poměry na dynamometru

P_c - síla při cojehování

P_n - síla působící na nástraj

R_a - reakce v bodě A

R_b - reakce v bodě B

a - vzdálenost mezi reakcemi

b - vzdálenost čela dynamometru od reakce R_b

c - vzdálenost cojehovního bodu C od čela dynamometru

d - proměnná vzdálenost nástroje od čela dynamometru dáná vylezením

$$R_b \cdot a = P_c /a + b + c/ = 0$$

$$R_b \cdot a = P_n /a + b + d/ = 0$$

$$\frac{P_c /a + b + c/}{R_b} = \frac{P_n /a + b + d/}{a}$$

$$P_n = P_c \frac{a + b + c}{a + b + d} = P_c \frac{k_1}{k_2 + d}$$

4.3.9. Volba řezných podmínek ke zkoušce

Při volbě řezných podmínek se vycházelo jednak z dosavadních zkušeností při obrábění izostaticky lisované keramiky, jednak z potřeby rozsahu řezných podmínek dáná rozvíjející se výrobou a jednak z rozmezí technologických požadavků produkčního zařízení s ohledem na mechanické vlastnosti zkoušeného materiálu a parametry stroje.

Po zvážení těchto činitelů jsme volili následné krajní řezné podmínky pro vytvoření strukturálního modelu měření. Současně řezné podmínky se vypočítají dle vzorce uvedeného v kap. 4.1.

NM č.1:

- otáčky vřetena: $n_{\min} = 125 \text{ ot} \cdot \text{min}^{-1}$, $n_{\max} = 250 \text{ ot} \cdot \text{min}^{-1}$
 $n_s = 180 \text{ ot} \cdot \text{min}^{-1}$
- posuv supertu : $s_{\min} = 0,32 \text{ mm} \cdot \text{ot}^{-1}$, $s_{\max} = 0,96 \text{ mm} \cdot \text{ot}^{-1}$
 $s_s = 0,56 \text{ mm} \cdot \text{ot}^{-1}$
- hloubka řezu : $t_{\min} = 3 \text{ mm}$, $t_{\max} = 15 \text{ mm}$
 $t_s = 6,7 \text{ mm}$

NM č.2:

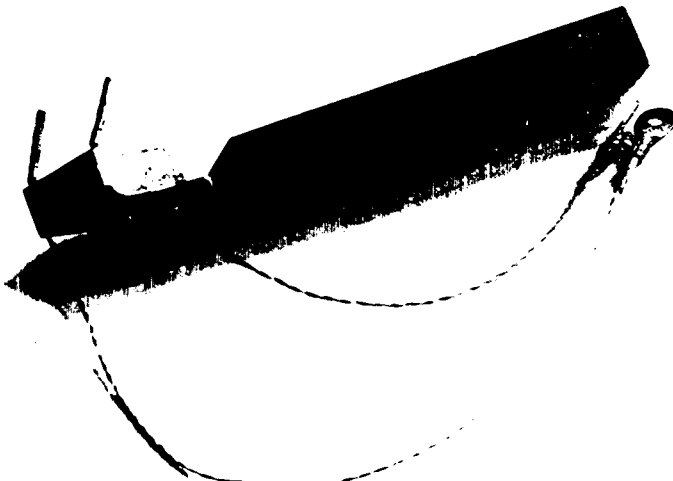
- otáčky vřetena a posuv supertu jsou totožné s volbou u nrože č.1
- hloubka řezu : $t_{\min} = 3 \text{ mm}$, $t_{\max} = 12 \text{ mm}$
 $t_s = 6 \text{ mm}$

Pro měření závislostí dynamických hodnot elektického proudu na řezných podmínkách byly voleny následné řezné podmínky:

- otáčky vřetena: $n = /65; 90, 125, 180, 250/ \text{ ot} \cdot \text{min}^{-1}$
- posuv supertu : $s = /0,44, 0,56, 0,8, 0,96, 1,28/ \text{ mm} \cdot \text{ot}^{-1}$
- hloubka řezu : $t = /3, 6, 9, 12, 15/ \text{ mm}$

4.3.10. Cejchování

V našem případě nebylo cejchování provedeno pomocí tlakového silosáru s číslníkovým setinovým důhylkourem, ale pomocí závadí, které bylo navozeno na cejchovní nád. /obr. 4.3.10.1/ postupně v jednotlivých směrech.



obr. 4.3.10.1 Cejchovní nád

Rozšířené hodnoty byly zaznamenány do tabulky č. 4.3.10.1. a z těchto hodnot byly sestrazeny cejchovní křivky /diagram č. 4.3.10.1./.

Kontrolou při odlehčování nebyla zjištěna výrazná kyseleza, která nepříjemně ovlivňuje přesnost měření.

Z cejchovní křivky je zřejmé, že závislost registrovaného údaje na měřené síle je lineární.

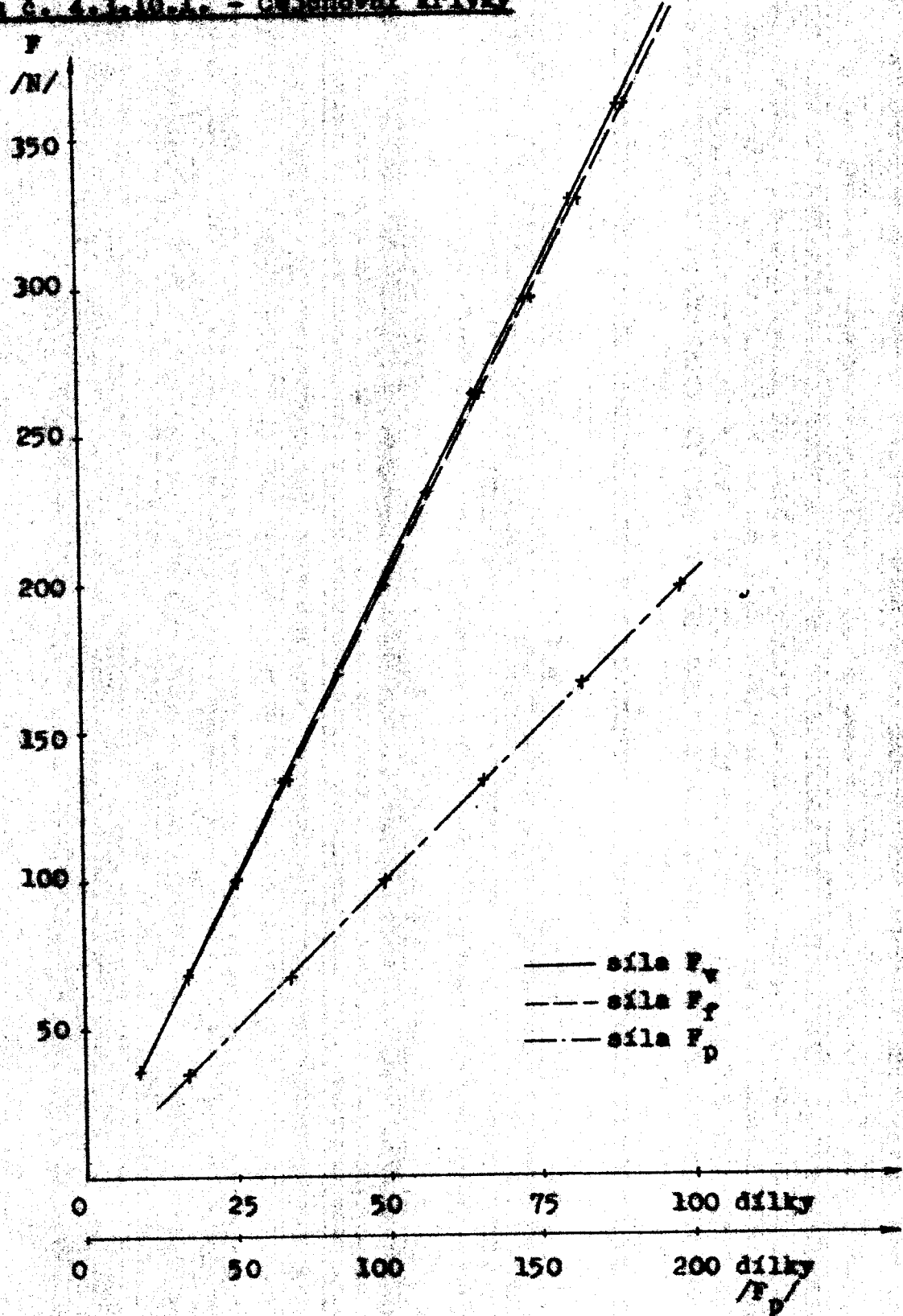
Tabulka 4. 4.3.10.1.a

Závaží [kg]	Počet dílků					
	zatížování			odlehčování		
	P_v	P_f	P_p	P_v	P_f	P_p
3,587	8,6	8,7	34	8,8	9,2	36
6,834	16,7	16,7	68	16,9	17,3	70
10,081	25,3	25,0	100	25,5	25,5	101
13,328	33,0	33,5	133	33,3	34,0	134
16,575	41,0	41,5	165	41,3	42,0	166
19,822	49,0	50,0	197	49,4	50,5	197
23,069	57,5	58,0	229	58,0	58,5	229
26,316	66,0	66,5	251	66,3	66,5	251
29,563	73,5	75,0	283	74,1	75,0	283
32,810	81,0	83,0	-	81,5	83,0	-
36,057	89,5	91,0	-	89,5	91,0	-

Použité druhy nosičů:

- pro složku P_v : 1000x
- pro složku P_f : 1000x
- pro složku P_p : 100x

Diagram 4. 4.3.19.1. - Celikovský křivky



4.3.11. Experimentální práce

Úkolem měření je stanovení silových poměrů a chvění při obrábcení vln isolátorů v závislosti na řezných podmínkách pro hrubovací a tvarovací nůž a hmoty M 50 a M 60. Práce je rozdělena na dvě části.

V první části měření, které spíše zaměřeno na teoretickou oblast, je úkolem určení konstant v experimentálním vyjádření sledek řezné sily $F = c_p \cdot t^x \cdot a^y \cdot v^z$ pro oba produkční nástroje, navržené po předchozích měřeních a pro oba materiály.

V druhé části měření se provádí měření závislosti statických a dynamických hodnot sledek řezné sily na řezných podmínkách pro hrubovací nůž.

Měření se provádělo podél jeho osu strukturním v intervalu řezných podmínek navržených v kap. 4.3.9.

Poznámka:

V tabulkách naměřených hodnot je již uvedena průměrná hodnota z dvou naměřených hodnot a skutečná síla, přepočtená dle uvedených vztahů v kap. 4.3.8.

4.3.12. Kvantitativé hodnoty

a/ Statistiky:

1. Kruhový sálka - průměr chrášťanového materiálu $\#D=257 \text{ mm}$
 - hmotnost $N\cdot50 \text{ g}^{-2}$ Tabulka č. 4.3.12.1.

t $\text{mm}/$	n	v $\text{a} \cdot \text{min}^{-1}$	e $\text{m} \cdot \text{min}^{-1}$	F_{v}		F_{f}		F_{p}	
				s	/N/	s	/N/	s	/N/
25	125	100,9	0,32	19,75	64,2	10,5	32,3	-10,5	-10,3
			0,56	24,0	82,1	13,0	40,0	-16,5	-16,2
			0,96	30,0	102,6	14,0	43,1	-19,0	-18,6
	180	145,3	0,32	18,0	61,6	10,5	32,3	-12,0	-11,8
			0,56	23,0	78,7	12,0	37,0	-16,5	-16,1
			0,96	29,5	101,0	13,25	40,8	-28,0	-27,5
	250	201,8	0,32	18,75	64,2	10,5	32,3	-16,5	-16,2
			0,56	24,0	82,1	12,0	37,0	-27,0	-26,9
			0,96	31,25	107,0	13,0	40,0	-39,0	-38,3
6,7	125	100,9	0,32	9,0	30,3	5,5	16,7	-6,0	-5,9
			0,56	11,75	39,5	6,0	18,1	-11,0	-10,9
			0,96	15,0	50,7	6,5	19,7	-13,5	-13,2
	180	145,3	0,32	9,0	30,3	5,25	15,9	-9,0	-8,8
			0,56	12,5	42,1	6,0	18,1	-13,0	-12,8
			0,96	15,5	52,1	6,5	19,7	-18,0	-17,7
	250	201,8	0,32	9,0	30,3	5,0	15,1	-10,0	-9,8
			0,56	12,0	40,4	5,75	17,4	-18,5	-18,1
			0,96	15,0	53,8	6,5	19,7	-28,0	-27,5
3	125	100,9	0,32	4,55	15,2	2,5	7,5	-3,0	-2,9
			0,56	6,0	20,0	2,6	7,8	-4,75	-4,7
			0,96	7,0	23,4	2,6	7,8	-5,5	-5,4
	180	145,3	0,32	4,6	15,4	2,4	7,2	-4,0	-3,9
			0,56	6,0	20,0	2,6	7,8	-5,5	-5,4
			0,96	6,5	21,7	2,65	8,0	-7,0	-6,9
	250	201,8	0,32	4,8	16,0	2,4	7,2	-6,0	-5,9
			0,56	6,0	20,0	2,7	8,1	-9,0	-8,8
			0,96	6,7	22,4	2,7	8,1	-11,0	-10,8

2. Hrubostní pásky - průměr obráběného materiálu $\phi D=257$ mm
- hmotnost N 60

Tabelle č. 4.3.12.2

t mm	n min ⁻¹	v m.min ⁻¹	s mm.s ⁻¹	F _p		F _f		F _d	
				s	/N	s	/N	s	/N
15	125	100,9	0,32	18,0	61,6	13,0	40,0	- 9,0	- 8,8
			0,56	22,5	77,0	13,2	41,6	-14,0	-13,7
			0,96	28,0	95,8	14,0	43,1	-20,0	-19,6
	180	145,3	0,32	18,0	61,6	11,5	35,4	-10,0	- 9,8
			0,56	22,5	77,0	12,0	37,0	-17,0	-16,7
			0,96	28,0	95,8	13,0	40,0	-24,0	-23,5
	250	201,8	0,32	17,5	60,0	11,0	33,9	-10,0	- 9,8
			0,56	22,0	75,3	11,5	35,4	-17,5	-17,2
			0,96	28,5	97,5	12,0	37,0	-30,0	-29,4
6,7	125	100,9	0,32	9,5	32,0	6,5	19,7	- 4,0	- 3,9
			0,56	11,5	38,7	7,0	21,2	- 6,9	- 6,8
			0,96	15,0	50,5	7,0	21,2	-11,0	-10,8
	180	145,3	0,32	9,0	30,3	6,0	18,1	- 5,0	- 4,9
			0,56	11,5	38,7	6,0	18,1	-10,0	- 9,8
			0,96	15,0	50,5	6,5	19,7	-15,0	-14,7
	250	201,8	0,32	8,75	29,4	5,0	15,1	- 6,0	- 5,9
			0,56	11,0	37,0	5,5	16,7	-12,0	-11,8
			0,96	14,5	48,6	5,75	17,4	-20,0	-19,6
3	125	100,9	0,32	4,85	16,2	2,9	8,7	- 2,0	- 2,0
			0,56	5,8	19,4	2,85	8,6	- 3,0	- 2,9
			0,96	6,5	21,7	2,6	7,8	- 4,5	- 4,4
	180	145,3	0,32	4,5	15,0	2,65	8,0	- 2,0	- 2,0
			0,56	5,55	18,3	2,65	8,0	- 3,0	- 2,9
			0,96	6,75	22,5	2,35	7,0	- 6,0	- 5,9
	250	201,8	0,32	4,5	15,0	2,45	7,3	- 3,5	- 3,4
			0,56	5,9	19,7	2,6	7,8	- 7,0	- 7,0
			0,96	7,0	23,4	2,4	7,2	- 9,0	- 8,8

3. ~~čísla výkone~~ - průměr obrubky $\phi D=257$ mm
- hmotá M 50 S-2

Tabulka č. 4.3.12.3.

t [mm]	n [min ⁻¹]	v [m/min]	s [mm,cr ⁻¹]	P_v		P_T		P_p	
				d [mm]	s [mm]	d [mm]	s [mm]	d [mm]	s [mm]
12	125	100,9	0,32	20,0	68,0	10,0	30,6	28,0	27,5
			0,56	24,0	81,6	11,0	33,7	24,0	23,5
			0,96	29,0	98,6	12,5	38,3	19,0	18,6
	180	145,3	0,32	19,5	66,2	9,5	29,1	25,0	24,4
			0,56	24,0	81,6	11,0	33,7	28,0	27,7
			0,96	29,0	98,6	12,0	36,7	22,0	21,8
	250	201,8	0,32	19,0	64,6	9,0	27,5	21,0	20,6
			0,56	24,0	81,6	10,75	32,9	21,0	20,3
			0,96	30,0	101,9	12,0	36,7	4,0	3,9
6	125	100,9	0,32	12,25	41,1	5,0	15,1	28,0	27,5
			0,56	14,5	48,6	5,5	16,6	25,0	24,4
			0,96	17,0	57,0	6,5	19,6	21,5	21,1
	180	145,3	0,32	12,0	40,3	5,0	15,1	25,5	25,0
			0,56	14,0	46,9	5,5	16,6	23,0	22,6
			0,96	17,25	57,9	6,0	18,1	16,5	16,2
	250	201,8	0,32	11,5	38,6	4,5	13,6	22,0	21,6
			0,56	14,0	46,9	5,0	15,1	17,5	17,2
			0,96	17,25	57,9	6,0	18,1	10,0	9,8
3	125	100,9	0,32	7,75	25,8	2,3	6,9	22,0	21,6
			0,56	8,5	28,4	2,55	7,7	22,0	21,6
			0,96	10,5	35,0	3,1	9,3	20,0	19,6
	180	145,3	0,32	7,2	24,1	2,45	7,3	20,0	19,6
			0,56	8,5	28,4	2,7	8,1	20,0	19,6
			0,96	10,5	35,0	3,05	9,2	17,0	16,7
	250	201,8	0,32	7,0	23,4	2,15	6,4	17,0	16,7
			0,56	8,5	28,4	2,5	7,5	16,0	15,7
			0,96	10,5	35,0	2,8	8,4	12,5	12,3

Zpracování naměřených hodnot

Naměřené hodnoty byly upraveny metodou nejménších čtverců pomocí ručně programovatelné kapesní kalkulačky. Získané konstanty pro jednotlivé sítě řezné síly, než je materiál, jsou uvedeny v následující tabulce č. 4.3.12.4.

Tabulka č. 4.3.12.4.

Druh:-míš -hmota	sítka	a_p	x_p	y_p	z_p
hrubovací máč	P_v	8,009	0,897	0,424	0,028
	P_f	3,496	0,974	0,165	-0,033
	P_p	-0,054	0,746	0,672	0,865
tvarovací máč	P_v	28,330	0,893	0,531	-0,166
	P_f	4,798	1,040	0,228	-0,104
	P_p	821,380	-0,103	-0,489	-0,793
hrubovací máč	P_v	2,325	0,981	0,400	0,223
	P_f	9,675	0,983	0,032	-0,252
	P_p	-0,076	0,853	0,902	0,718

Poznámka:

Všechny výše uvedené konstanty platí pouze pro použití nástroje s příslušnou geometrií a pro použití keramické hmoty.

Dále pomocí těchto konstant byly vyjádřeny u hrubovacího máče hodnoty sítěk řezné síly pro stanovení závislosti poměru sítěk $P_v : P_f : P_p$ na řezných podmínkách a graficky znázornění výsledného silového působení pro obě keramické hmoty.

Vliv fyzických podmínek na poměr složek konzne sily F_v : F_f : F_p

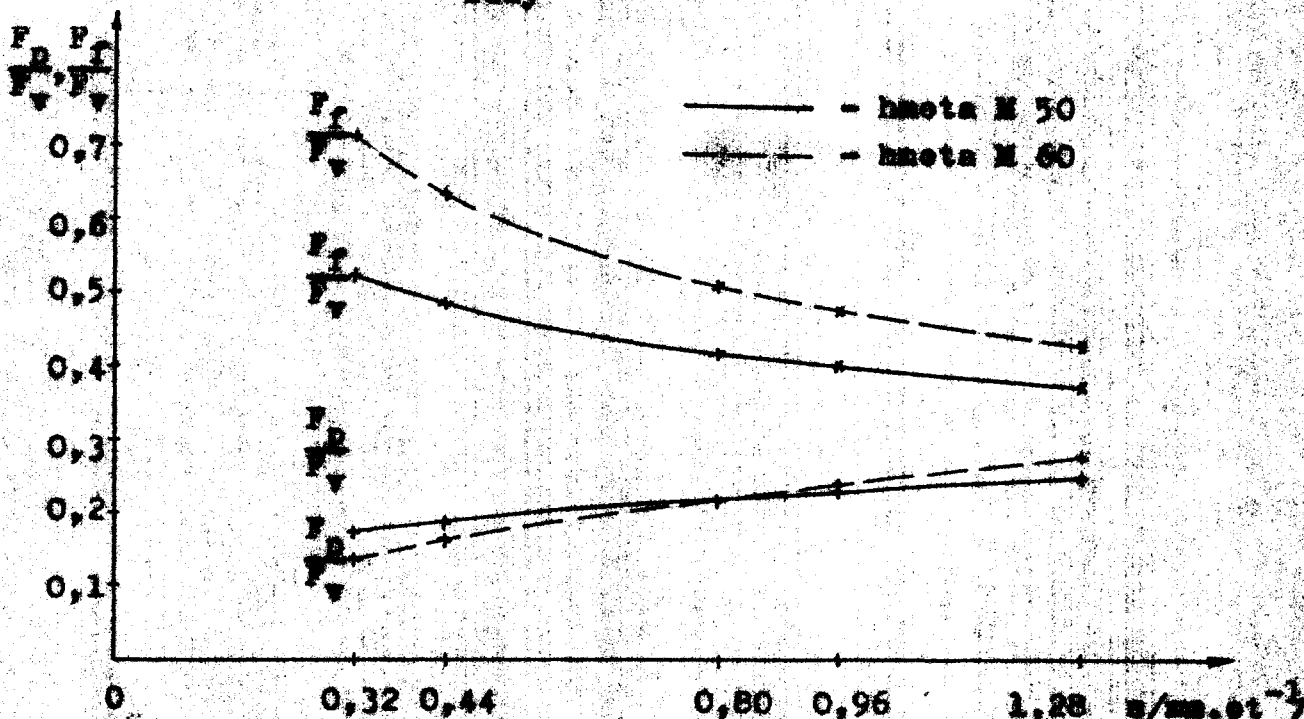
1/ Vliv tlaku: - hrubotvarci můžou

- konzne podmínky: $t = 9 \text{ mm}$, $v = 100,9 \text{ m} \cdot \text{min}^{-1}$

Tabulka č. 4.3.12.5

$\frac{\bullet}{\text{mm} \cdot \text{s}^{-1}}$	F_v [N]	F_f [N]	F_p [N]	$\frac{F_f}{F_v}$	$\frac{F_p}{F_v}$
0,32	40,3	35,6	21,1	0,88	0,524
0,44	46,1	40,4	22,3	0,87	0,484
0,80	59,5	51,4	24,6	0,85	0,413
0,96	64,3	55,2	25,3	0,84	0,393
1,28	72,6	62,0	26,6	0,83	0,366
	M 50	M 60	M 50	M 60	M 50
	M 50	M 60	M 50	M 60	M 50

Diagram č. 4.3.12.1. - Vliv tlaku na poměr složek konzne sily



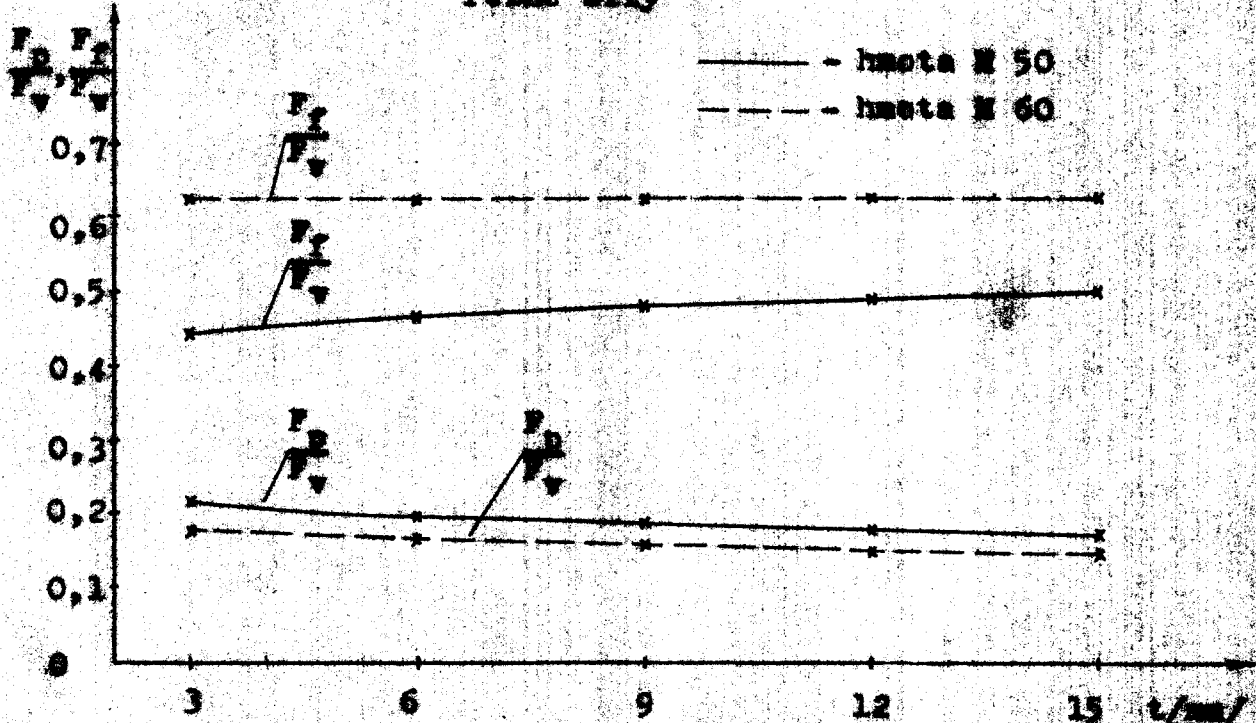
2/ Vliv hmotnosti řezu: - hrubovrství mm

$$\begin{aligned} \text{- řezné podmínky: } & a = 0,44 \text{ mm} \cdot \text{st}^{-1} \\ & v = 100,9 \text{ m} \cdot \text{min}^{-1} \end{aligned}$$

Tabelečka č. 4.3.12.6.

t /ms/	F_v /N/	F_f /N/	F_p /N/	$\frac{F_x}{F_v}$	$\frac{F_x}{F_p}$					
3	17,2	13,8	7,6	8,7	3,8	2,5	0,442	0,629	0,221	0,181
6	32,1	27,2	15,0	17,1	6,4	4,6	0,467	0,630	0,199	0,169
9	46,1	40,4	22,3	25,5	8,7	6,5	0,484	0,631	0,189	0,161
12	59,7	53,6	29,5	33,9	10,7	8,3	0,494	0,632	0,179	0,155
15	73,0	66,7	36,7	42,2	12,7	10,0	0,503	0,633	0,174	0,150
	M 50	M 60	M 50	M 60	M 50	M 60	M 50	M 60	M 50	M 60

Diagram č. 4.3.12.2. - Vliv hmotnosti řezu na poučec elektřek
řezné sily



3/ Vliv řezné rychlosti - hrubovací nář.

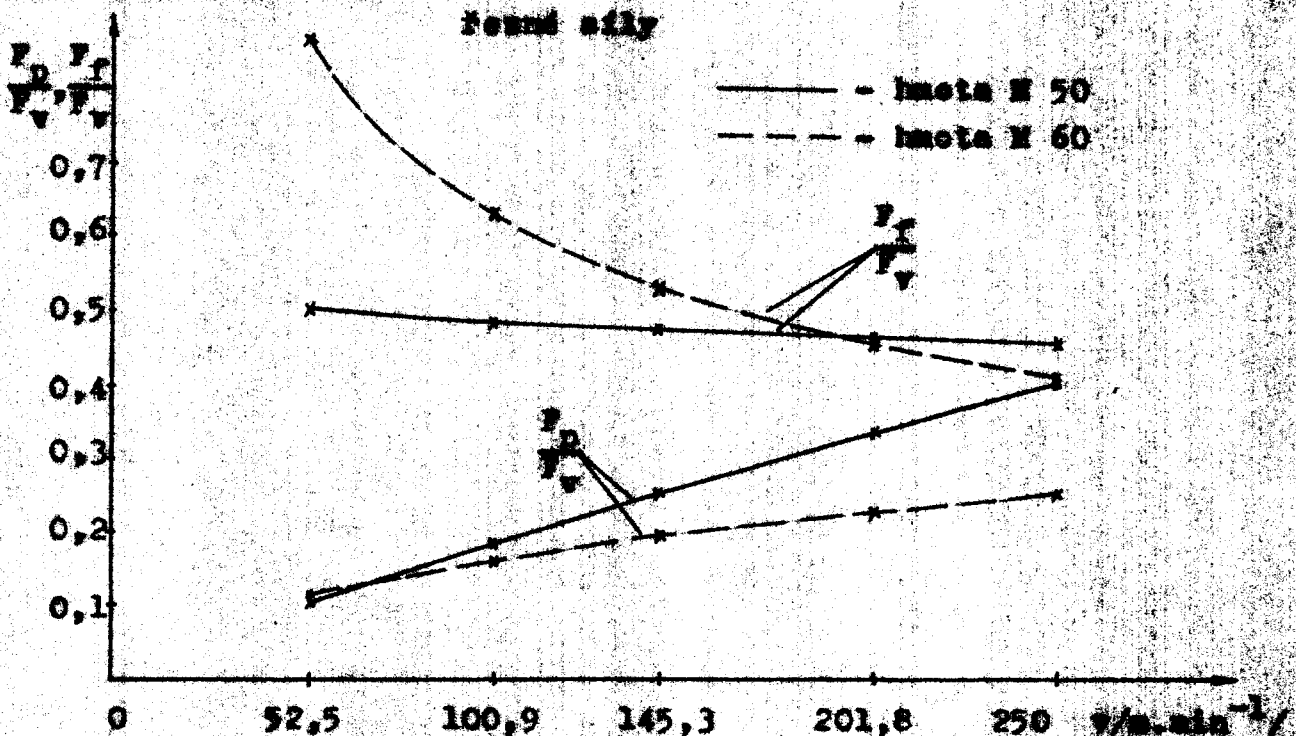
- řezné podmínky: $t = 9 \text{ mm}$

$$a = 0,44 \text{ mm} \cdot \text{st}^{-1}$$

tabulka č. 4.3.12.7.

v $\text{m} \cdot \text{min}^{-1}$	F_v /N/	F_p /N/	F_p /N/	$\frac{F_p}{F_v}$	F_p F_v					
52,5	45,3	39,0	22,8	30,1	0,49	0,41	0,503	0,671	0,108	0,117
100,9	46,1	40,6	22,3	29,5	0,7	6,5	0,484	0,631	0,189	0,161
145,3	46,6	43,9	22,0	23,3	11,9	8,4	0,472	0,531	0,295	0,191
201,8	47,0	47,2	21,8	21,4	15,8	10,7	0,464	0,453	0,336	0,227
250,0	47,3	49,5	21,6	20,3	19,0	12,4	0,457	0,410	0,402	0,251
	M 50	M 60	M 50	M 60	M 50	M 60	M 50	M 60	M 50	M 60

Diagram č. 4.3.12.3. - Vliv řezné rychlosti na poměr slouček řezné sily



Poznámka:

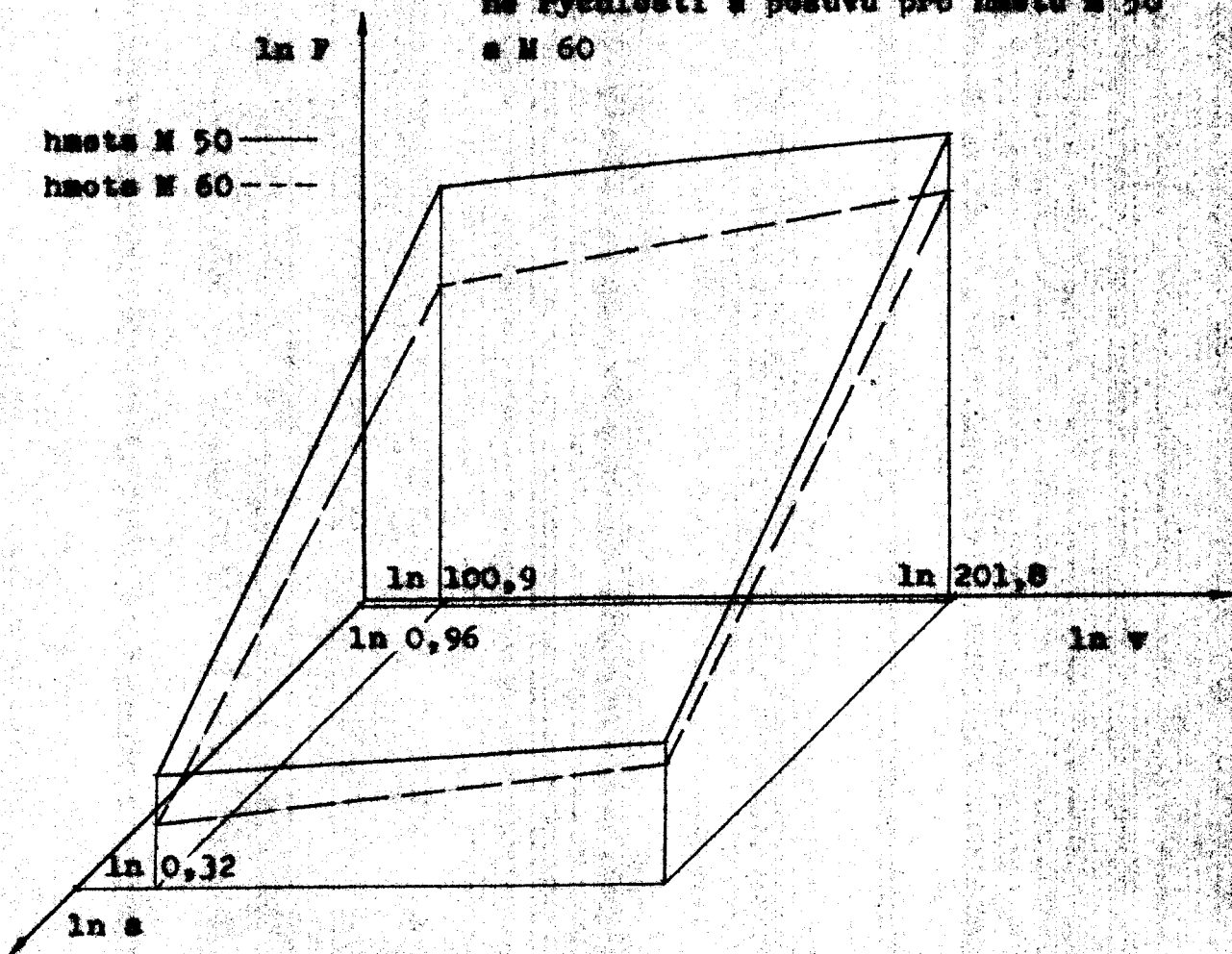
Služba řezné sily F_p při určování poměru generevného v absolutní hodnotě.

4/ Převodnice výsledné fyzikální sily pro hmoty M 50 a M 60

Tabulka 5. 4.3.12.B.

t /min/	v m.min ⁻¹	s mm.s.t ⁻²	F_v /N/		F_p /N/		F_d /N/		ln F	
			M 50	M 60	M 50	M 60	M 50	M 60	M 50	M 60
6,7	100,9	0,32	30,9	26,7	15,9	18,9	5,6	3,8	3,56	3,49
		0,96	49,3	41,4	19,0	19,6	11,8	10,2	3,99	3,85
		0,96	31,3	31,1	15,5	15,9	10,2	6,2	3,60	3,57
	201,8	0,96	50,3	48,3	18,6	16,5	21,4	16,8	4,06	3,98

Diagram 5. 4.3.12.4. - Závislost výsledné fyzikální sily na konci rychlosti a pesuvu pro hmotu M 50 a M 60



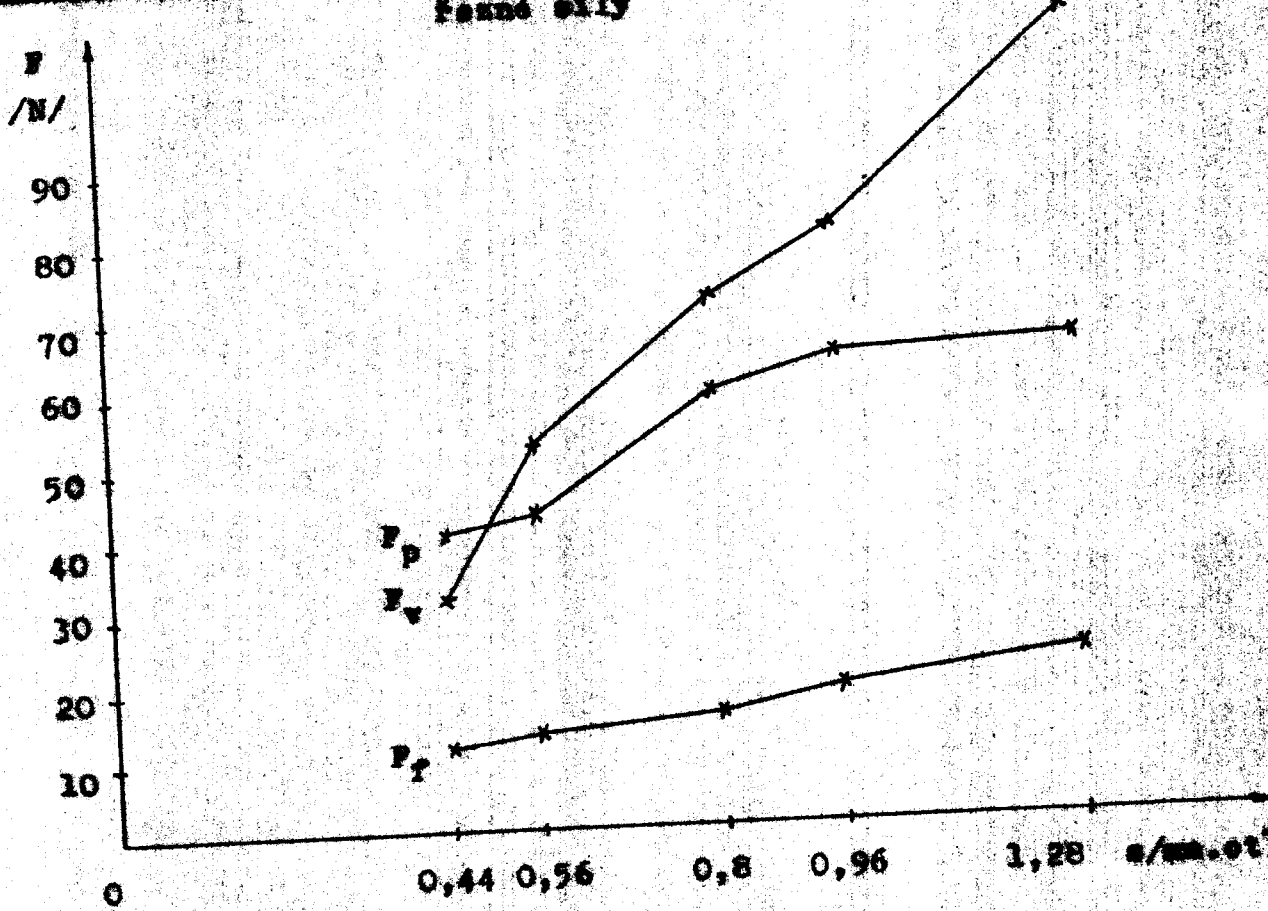
b/ Dynamické hodnoty

1. Hloubkový pád - Počet podmínyk: $t = 6,7 \text{ mm}$, $v = 145,3 \text{ m} \cdot \text{min}^{-1}$
- hmotá ≈ 50

Tabelka 3. 4.3.12.9.

s $/\text{mm} \cdot \text{st}^2$	F_v $/\text{N}$	F_T $/\text{N}$	F_p $/\text{N}$
0,44	$\pm 31,5$	$\pm 11,3$	$\pm 40,2$
0,56	$\pm 52,5$	$\pm 19,2$	$\pm 42,6$
0,80	$\pm 71,5$	$\pm 15,5$	$\pm 58,9$
0,96	$\pm 80,7$	$\pm 18,9$	$\pm 63,2$
1,28	$\pm 109,3$	$\pm 22,7$	$\pm 64,7$

Diagram 3. 4.3.12.5. - Vliv posunu na dynamické silovky
Počet vily

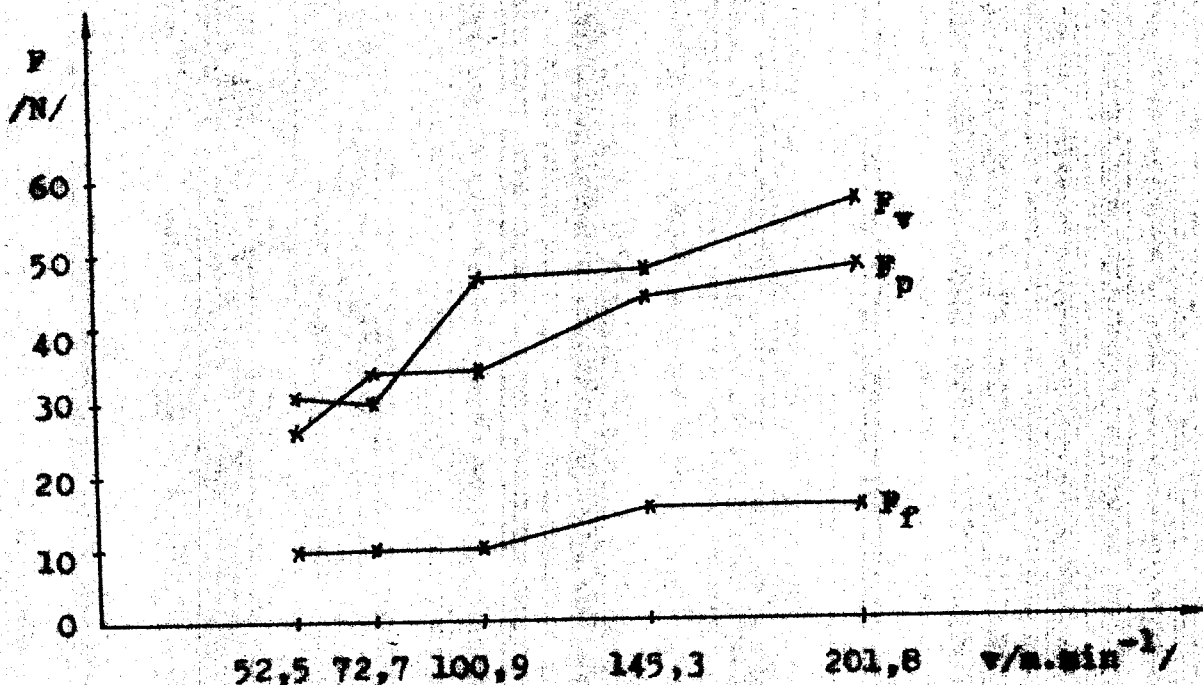


2. Hrubostní řada: - řezné podmínky: $t = 6,7 \text{ mm}$, $\alpha = 0,95 \text{ mm} \cdot \text{st}^{-1}$
 - hmotnost 50

Tabelka 3. 4.3.12.16.

$v / \text{m} \cdot \text{min}^{-1}$	F_v / N	F_p / N	F_d / N
52,5	30,7	9,1	25,5
72,7	29,4	9,5	33,4
100,9	46,2	9,5	33,7
145,3	47,1	13,1	43,2
201,8	56,7	15,1	47,1

Diagram 3. 4.3.12.6. - Vliv řezné rychlosti na dynamické složky řezné síly

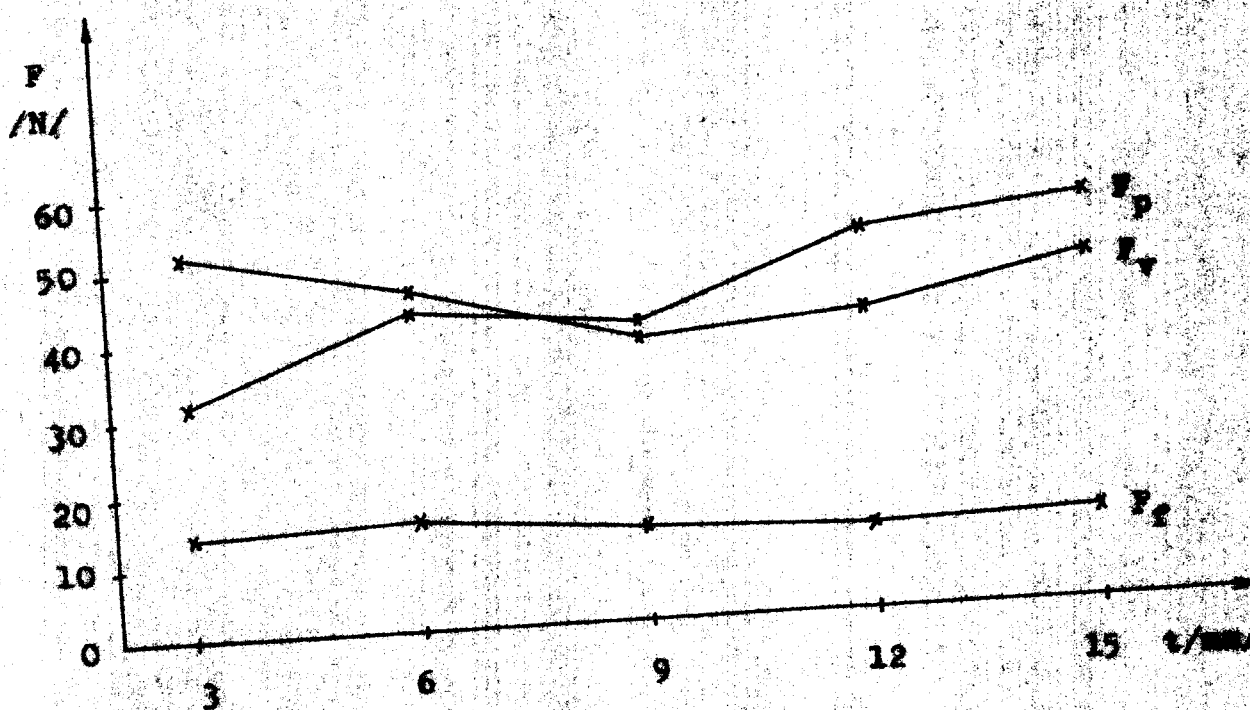


3. průběžný měř. - Fyzické podmínky: $v = 145,3 \text{ m} \cdot \text{min}^{-1}$
 $a = 0,36 \text{ mm} \cdot \text{et}^{-1}$
 - hmotnost 50

Tabulka č. 4.3.12.11.

t [min]	F _v [N]	F _p [N]	F _p [N]
3	±52,1	±13,9	±31,8
6	±46,1	±15,1	±43,2
9	±38,0	±12,5	±40,6
12	±40,4	±11,5	±51,8
15	±47,0	±12,3	±54,7

Diagram č. 4.3.12.12. - Vliv tloušťky řezu na dynamické síly
 tloušťka řezu



4.3.13. Znadení sítok

Z tabulky č. 4.3.12.4. vyplývají konstanty a exponenty, platné pro použití městrova v příslušné geometrii, lze vydírat vliv jednotlivých řezních podmínek na složky řezné síly. Je-li exponent bláznivý, pak se variabilní řeznou podmínkou využívá i složka řezné síly, je-li naporný, pak složka řezné síly tleská. Čím exponent má větší hodnotu, tím výraznější má vliv na změnu složky řezné síly, jestliže se exponent blíží nule, pak má vliv velmi malý, tzn., že se změny řeznou podmínky složky řezné síly značně přiblíží konstantní. Pro hrubovostí můžeme vyčít konstantu c_2 napornou, tedy složku řezné síly F_p , má obrácený směr a můžeme ji vložit do obrobku. To se dá vysvětlit tím, že použity hrubovostí můžeme, který slouží především pro empirickou metodu obrobení a má dle toho vytvořenou geometrii, tak při použití řeznou podmínky můžeme řešit na přední části nože význam úhlu sklonu osy řezu a tím dochází k vložování nežádoucího vlivu řezbíren v rámci materiálu. Při vlastní výrobě bylo na tuto chybou, aby nedocházelo k poškození obrobku.

Z diagramu č. 4.3.12.1. vyplývá, že se variabilními posuvem poměr složek $F_p: F_v$ pro obě hmoty klesá, meziak poměr $F_p: F_v$ mírně stoupá.

Z diagramu č. 4.3.12.2. lze vydírat, že se variabilními hleubkou řezu poměr $F_p: F_v$ pro hmotu M 60 je konstantní a pro hmotu M 50 mírně stoupá. Poměr $F_p: F_v$ pro obě hmoty mírně klesá.

Z diagramu č. 4.3.12.3. vyplývá, že se variabilní řeznou rychlostí významně klesá poměr $F_p: F_v$ pro hmotu M 60, pro hmotu M 50 klesá mírně. Poměr $F_p: F_v$ pro obě hmoty roste, výrazněji však pro hmotu M 50.

Z diagramu č. 4.3.12.4. je vidět, že hmota M 60 vykazuje menší významnou řeznou sílu, než hmota M 50, z toho usuzovat, že hmota M 60 je v daném řezném podmínek obrobitelejší.

V další části měření byl zjištován vliv fenzíků podmínek na velikost dynamických hodnot sítítek fenzé sily u hrubováního nože.

Z diagramu č. 4.3.12.5. je patrné, že se vzdáleností posuvu vztahují všechny tři dynamické sítítky. Sítítko F_v má nejatraktivnější závislost, napak sítítko F_p má nejmírnější závislost.

Z diagramu č. 4.3.12.6. vyplývá, že se vzdáleností fenzu rychlostí sítítku F_p mimoží výrazně svoji hodnotu, sítítky F_v a F_p mají přibližně stejnou vzdálenostní závislost.

Z diagramu č. 4.3.12.7. lze vyčíst, že se vzdáleností hloubky fenzu od sítítku F_p přibližně konstantní hodnota, sítítko F_v má minimum při hloubce fenzu $t = 9$ mm, sítítko F_p vzdále, avšak při hloubce fenzu $t = 9$ mm určitý dílnu.

Poznámka:

Všechny výše uvedené závislosti platí za daných fenzíkův podmínek a při dané tloušťce soustavy střej - nástroj - obrobek.

4.4 Měření teploty

Celková mechanická práce, vynaložená na vznik trísky při obrábění a její odhad z měření řezu, se téměř úplně přemění na teplo, a vyjímka práce průběžných deformací a práce utajené. Podíl těchto dvou složek na celkově vynaložené práci je poměrně malý.

Projektem tepla je teplota, která je různá v jednotlivých bodcích působení tepla. Nejdříve o skutečné teplotě hmotných bodů v oblasti řezání. Arithmetický průměr teplot hmotných bodů trísky se nazývá střední teplota trísky. Analogicky nejdříve o střední teplotě obrobku resp. nástroje.

Střední teplota celé styčné plochy nástroje a trísky a obrobku se nazývá teplotou řezání. Tu bude pochopitelně nižší než maximální teplota na drátu, má však tu výhodu, že ji lze stanovit podstatně snadněji.

Experimentální metody zkoumání teplotních jevů je možno rozdělit na metody měření přírůstku teplotního obsahu trísky, obrobku a nástroje a na metody měření teploty.

Přírůstek teplotního obsahu měříme kalorimetricky. Princip této metody je v tom, že ohřátý předmět vložíme do kapalinu a tjistému míru jejího ohřátí. Z rozdílu teplot kanalicky vypočítáme teplotní obsah vloženého předmětu.

Pro měření teplot při obrábění byla vyvinuta celá řada metod, založených na různých principech. Nejčastějším uplatněním měření teploty je pomocí termočlánků, kdy principem abrení teploty je tzv. termoelektrický jev. Fyzikální podstatu spědívá v tom, že ve styku dvou různých kovů vzniká napěťový spád vlivem různé velkých výstupních prací elektronů. Velikost téhoto napětí závisí na teplotě spoje, druhu kovu a v menší míře také na mechanickém zatížení spoje.

Při sledování teplet při obrábění se nejčastěji používá tzv. přirozeného termočlánku mezi nástrojem a obrobkem a ter-

močlánku vystavěného se dvěma ořízky kovy /umělého/.

4.4.1. Zdroje tepla a tepelná bilance při ohřívání

Celkové možství tepla využitelného v řezném procesu je jednotku času lze vyjadřovat bez velkých obtah s výrazem:

$$Q_c = \frac{F_v \cdot v}{H_v} \quad /W/, \quad F_v /m^2, v /m \cdot min^{-1}/$$

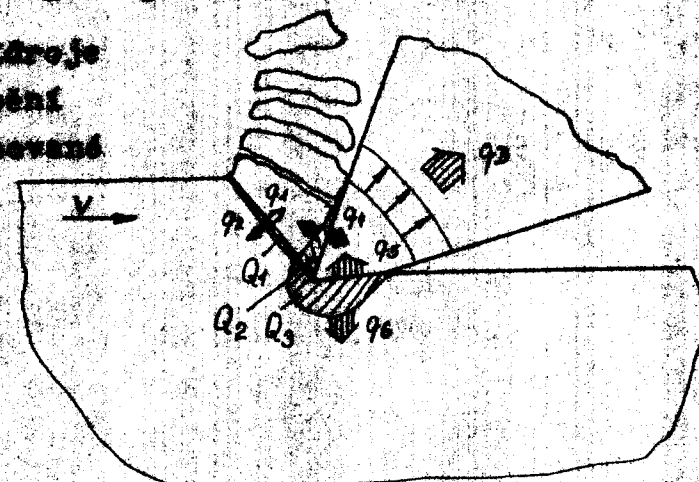
K výniku tepla při ohřívání dochází ve třech základních:

1. Q_1 - teplo vzniklé transformací práce primární plastické deformace v oblasti tvorby hrany
2. Q_2 - teplo vzniklé transformací práce sekundární plastické deformace a vlivemho tlaku na styčné ploše hrany a hřeben můstřeje
3. Q_3 - teplo vzniklé transformací práce tření na styčné ploše hřeben a plochy řezu.

Tepla vzniklá v uvedených zdrojích se rozvádí do ohřívání $/Q_{tr}/$, můstřeje $/Q_m/$, ohřívku $/Q_o/$ a okolního prostředí $/Q_p/$. Z pohledu tepla má rovnoběžnou významnost, kterou využívá je tzw. tepelná bilanci procesu řezání:

$$Q_1 + Q_2 + Q_3 = Q_{tr} + Q_o + Q_m + Q_p \quad /21/$$

obr. 4.4.1.1. Zdroje
tepla při ohřívání
institutu Ilsevand
keramiky



při obrábění inostaticky lisované keramiky, obdobně jako při obrábění křehkých materiálů, je velikost plastických deformací odstraňování vrstvy velmi malá. Jelikož tedy při obrábění nověnáho souvislého třísku, ale odstraňovaný materiál odštětě z místního řezu, je styková plocha mezi třískou a řezem nástroje velmi juká a styk třísky-čela má přerušovaný charakter, takže i následné teplo vzniklého transformaci vnějšího tlaku de- se zahrnuje menších hodnot než u oceli. Hlavním zdrojem tepla při obrábění inostaticky lisované keramiky tedy bude tlak ve styku hrbet-plocha řezu /teplota Q_3 /, lze pouzevat i z charakteru opatření, které největší na hrbetě.

Poněvadž však při obrábění inostaticky lisované keramiky jsou plastické deformace velmi malé a dále v důsledku skrácení stykové plochy mezi třískou a čelem nástroje, lze předpokládat, že i teplo řezu bude výrazně menší než jsou teploty při obrábění oceli na stejných podmínkách.

Celkové množství tepla odvedené třískou: $Q_t = Q_1 + Q_3$

Do vzitu přechází jednak část tepla Q_4 vzniklého tlaku ve styku třísky-čela a jednak klouzavé teplo tlaku Q_5 na hrbetě. Celkové množství tepla odvedené hrbetem: $Q_h = Q_4 + Q_5$. Tato teplo se očividně převezme do třísky nástroje. Část tepla tlaku Q_6 ve styku hrbet-plocha řezu přechází do obrábku.

Část tepla se odvede do okolní atmosféry.

Počty odvedené jednotlivými částmi závisí na konkrétních podmínkách, na vlastnostech obráběného a řezaného materiálu.

Při porovnání fyzikálně-mechanických vlastností různých materiálů je vidět, že keramické řezné materiály mají horší tepelnou vodivost než spálené karbidy /tepelná vodivost: spálený karbid K 10 - 79,5 $\text{W} \cdot \text{m}^{-1} \cdot {}^\circ\text{C}^{-1}$, keramické řezné materiály - 4,9 až 15,3 $\text{W} \cdot \text{m}^{-1} \cdot {}^\circ\text{C}^{-1}$ /, v důsledku toho přejde při obrábění keramickou částičkou do vzitu nástroje menší teplo než při obrábění silným karbideem.

Poněvadž tepelná vodivost řezné keramiky je větší než

izostaticky lisované keramiky, přejde do drátu nástroje více tepla než do obrobku. Jedná se výrazněji u aluminátových karbidů.

Důležitou roli zde hraje specifické teplo řezných destiček. Keramické destičky mají přibližně 5x vyšší specifické teplo než aluminátové karbidy. Z těchto výplývá, že na zahrátí jednotky objemu keramických destiček je potřebné větší množství tepla než na zahrátí jednotky objemu aluminátových karbidů.

Jestliže uvádime, že řezné míla při obrábění keramickými destičkami je menší než za stejných podmínek při obrábění kovovými řeznými materiály, bude i množství vyuvinutého tepla při obrábění keramickými destičkami menší. Způsobuje to především menší tření.

4.4.2. Použití nástroje a zařízení

- 1/ Obráběcí stroj SW 50 D
- 2/ Nástraj
- 3/ Zkušební materiál - hmotnost 60 g
- 4/ Drát na vestavěný termočlávek: mm²/cm/ - konstanta /K/
- 5/ Digitální milivoltmetr MM 30
- 6/ Odstávka zařízení

4.4.3. Nástraj

Ko zkušením byl použit náslevný drátek /obr. 4.4.3.1./ s průřezem 25 x 25 mm s mechanicky upínánou řeznou destičkou.

Geometrie nástroje:	- úhel nástroje	$\alpha = 4^\circ$
	- úhel řeza	$\beta_0 = 4^\circ$
	- úhel sklonu ostří	$\lambda_1 = 2^\circ$
	- úhel nastavení	$\delta_1 = 20^\circ$
	- úhel špičky	$\varepsilon_1 = 90^\circ$



obr. 4.4.3.1. Nástroj

Řezné destičky:

Pro měření byly použity dva druhy řezných destiček a používaných při obrábění izostatický lineárné keramiky:

1. Řezná destička ze silicituho karbida K10
 - rozměry řezné destičky: 12,7x12,7x4,75 mm
2. Keramická řezná destička VDK Hradec Králové
 - materiál: mikrokrystallinický keramický
 - rozměry řezné destičky: 11x13x4 mm

4.4.4. Termočlánek termočlánku

Pro měření byl použit využití termočlánek tvořený párem termočlánekových materiálů sld-konstantan. Hlavní předností této metody je jednoduché uchování a vysoké termoelektrické síla je poměrně velká a proti termočlánku přirozenému, a proto lépe měřitelná.

Vestavěný termočlánek je tvořen párem termočlánkových materiálů. Těmito kovy mohou být: mangan-konstantan, nikl-alumin-nikl, platina-platinarodium. Teply spoj termočlánku, vzniklý spojením obou termočlánkových materiálů, je umístěn ve vývodu provedeném v břitové destičce tak, aby byl umístěn co nejblíže místu předpokládané maximální teploty. Je třeba dbát na dokonalé přivážení tepelného spoje do místa určení a izolaci a zajištění obou vedení. Teplota na volných koncích vedení má být konstantní / 20°C nebo 0°C /, což zabezpečíme vložením do prostředí s konstantní teplotou, např. do sněsi ledu a vody.

Vestavěný termočlánek může ohmitit teplotu místa přivážení tepelného spoje, nemáši však maximální teplotu na břitu nástroje.

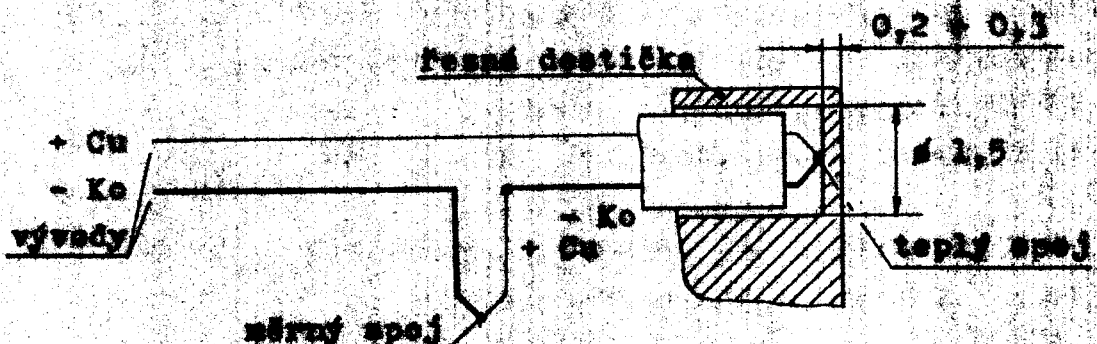
4.4.5. Materiály mikroní tloušťky

Do břitové destičky se zhotoví otvor $\varnothing 1,5$ mm /dle měřidla drátku/ v místě co nejblíže břitu a do takové tloušťky, aby zůstala tloušťka dno $0,2$ až $0,3$ mm. Umístění otvru vztít s chodem, aby nedocházelo k poškození nezadní části břitové destičky vlivem velmi slabých stén, což je vzhledem nebezpečné u keramické destičky, kde může dojít vlivem deformací při vypalování k útlipnutí.

V případě aluminčitého karbidu se zhotoví otvor elektrolytickové resp. ultrazvukem. Svojsími drátky termočlánku Cu-Ka se provede nejlépe kondenzátorem sváročkou a teply spoj vzniklého obvodu /viz. obr. 4.4.5.1./ se přiváží ke dnu otvoru v břitové destičce. Tažte zábudovný spoj se zálije speciálním lepidlem a vypadí se při teplotě 300°C po dobu dvou hodin.

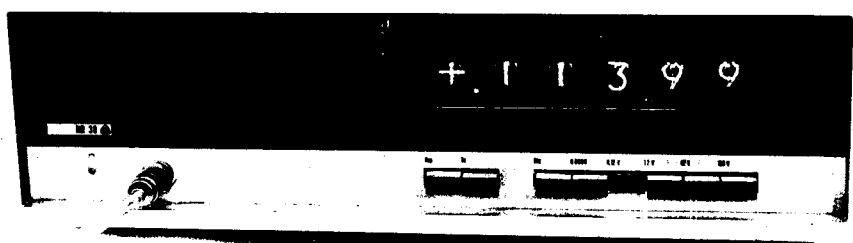
V případě keramické destičky, u které se otvor nepodobně zhotovit ani ultrazvukem, týle nutná otvor předlišovat

resp. předvrstvou v nevypáleném stavu. Teply spoj termočlánku byl zasunut do otvoru a zálit speciálním lepidlem. V tomto případě byl přenos tepla z měřické destičky na teply spoj termočlánku zajištěn pouze dobrými vlastnostmi lepidla. Takto zebudovaný spoj se opět vypálí při teplotě 300°C po zhruba dvou hodin.



obr. 4.4.5.1. Obvod využíváního termočlánku.

Měrny spoj byl vložen do nádobky se směsi ledu a vody pro udržení konstantní teploty. Vývody termočlánku se připejí přímo na měřicí zařízení, kterým v našem případě byl digitální milivoltmetr NR 30 /viz. obr. 4.4.5.2./.



obr. 4.4.5.2. Digitální milivoltmetr NR 30

Měření teploty prováděme dle předem stanoveného programu a zazípene hodnoty v my zapisujeme do tabulky, která je uvedena na následné tablosti pomocí cojchovní závislosti.

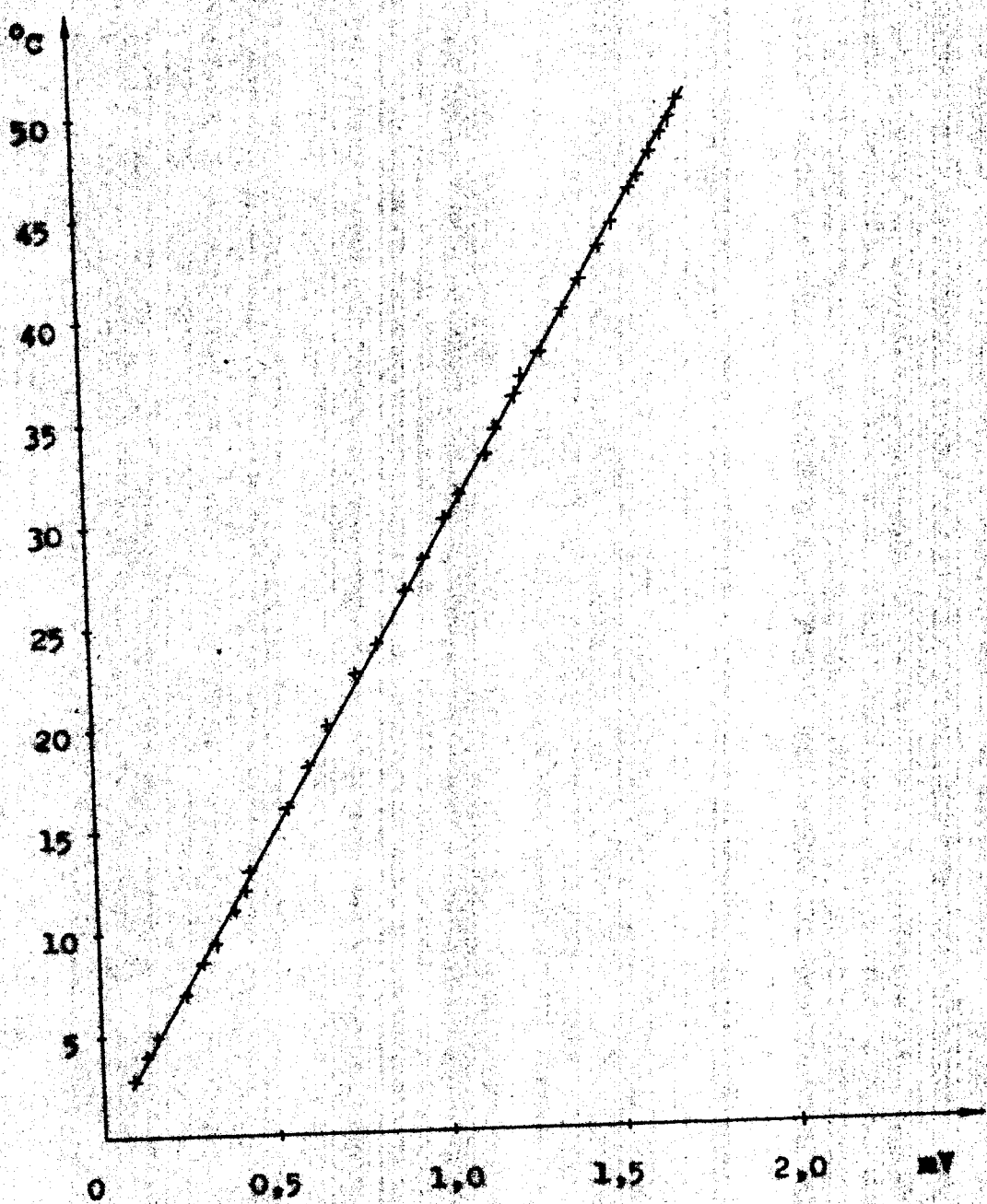
4.4.6. Cojchování

Před vlastním měřením je nutné provést cojchování celého systému, které se provede tak, že na vstup měřicího zařízení se přivede napáti ponefem do lázně o známé teplotě. Do 100°C se používá jako lázeň voda, nad 100°C se používá silikonový olej. Hodnoty byly zaznamenány do tabulky č. 4.4.6.1. a z těchto hodnot byla sestavena cojchovní křivka /diagram č. 4.4.6.1./

Tabulka č. 4.4.6.1.

°C	mV	°C	mV
2,8	0,09	31,2	1,08
4,1	0,13	33,0	1,17
5,0	0,16	34,3	1,19
7,0	0,25	35,9	1,25
8,5	0,30	36,8	1,27
9,5	0,32	38,0	1,33
11,0	0,40	40,0	1,39
13,0	0,45	41,5	1,44
16,0	0,55	43,1	1,51
18,0	0,61	44,2	1,56
20,0	0,68	45,9	1,60
22,5	0,76	46,5	1,63
24,0	0,83	47,6	1,67
26,5	0,92	48,6	1,72
28,0	0,97	49,2	1,73
29,9	1,03	50,0	1,75

Diagram 5. Anebka - Cejchovní křivka



4.4.7. Experimenní údaje

Úkolem je ověření nezávislosti metody měření teploty vlivem zákonu s rychlosťmi. Převodlo se na závislosti teploty na posunu a řezané rychlosťi.

Naměřené hodnoty

1/ Řezné častice - elinyt kvarc K10

Řezad průměry - hlinatka Řezn. $t = 5 \text{ mm}$

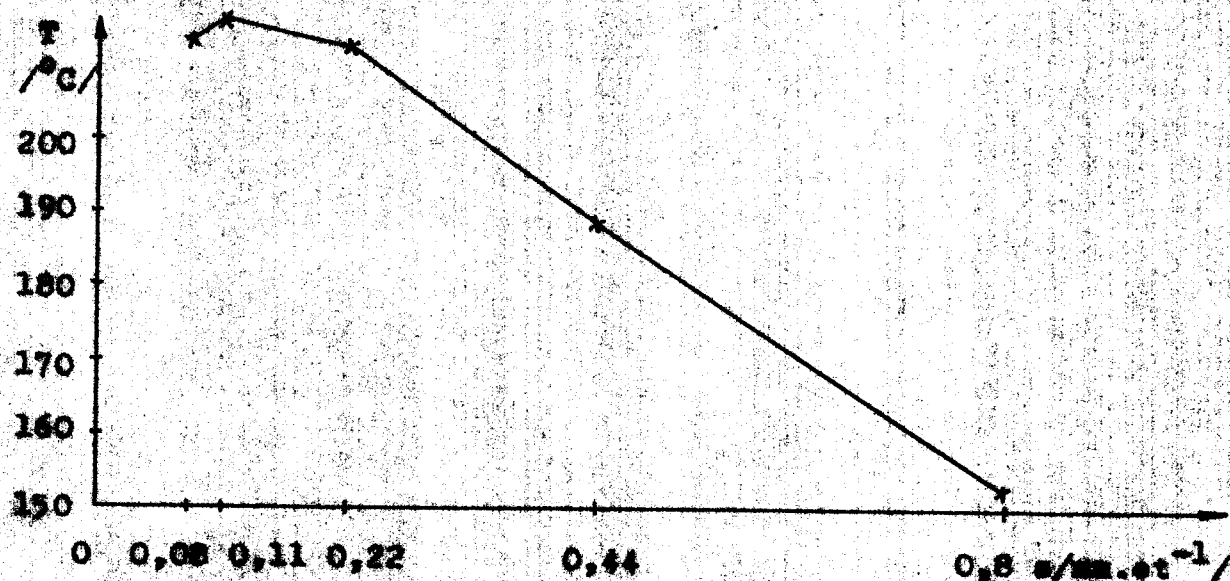
- řezad rychlosť $v = 144,2 \text{ m} \cdot \text{min}^{-1}$

Hmota $M = 60$

Tabelka 4. 4.7.1.

$\frac{\bullet}{\text{mm} \cdot \text{st}^{-1}}$	$\frac{\bullet}{\text{mm}}$	$^{\circ}\text{C}$
0,05	7,40	213,1
0,11	7,50	216,0
0,22	7,37	212,3
0,44	6,54	188,4
0,80	5,29	152,4

Diagram 4. 4.7.2a - Vliv posunu na teplotu řezání



2/ Řezná destička - alinutý karbid K10

- mikrozrnny kerund VÚK Kradec Králové

Řezné podmínky - hloubka řezu $t = 5 \text{ mm}$

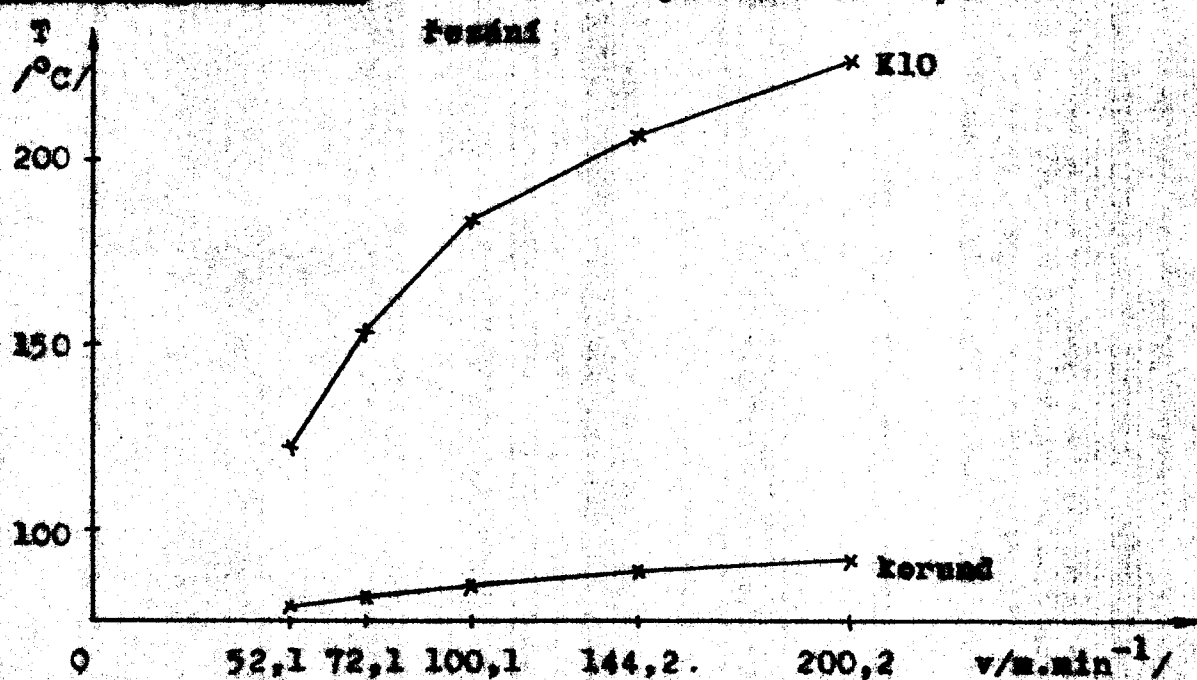
- posuv $s = 0,08 \text{ mm} \cdot \text{st}^{-1}$

Hmota N 60

Tabulka č. 4.4.7.2.

v /m.min ⁻¹ /	K10		kerund	
	T /mV/	t /s/	T /mV/	t /s/
52,1	4,24	122,1	2,73	78,6
72,1	5,34	153,8	2,82	81,2
100,1	6,37	183,9	2,93	84,4
144,2	7,17	206,5	3,08	88,7
200,2	7,87	226,7	3,17	91,3

Diagram č. 4.4.7.2a - Vliv řezné rychlosti na teplotu řezání



Poznámka:

V tabulkách podřízených hodnot je již uvedena průměrná hodnota ze dvou měření.

4.4.8. Změřené mřížové teploty

Počítáme správnou se zhotovením otvora pro teply spoj termotlaku do keramické desítiky během výroby, vzhled k použití vedle keramické desítiky i formy desítiky se slinutého karbídu, do kterého lze otvor zhotovit snadno.

Jelikož se předpokládala při obrábění izometricky lisevané keramiky malé teplostě žádání /do 100°C i méně/, tenu odpovídá i malé napětí na termotlaku, byla nutná použít pro mřížové citlivý milivoltmetr. Malé změny tepla, vzniklé při obrábění izometricky lisevané keramiky, daleko větší, než bylo provedeno - desítka formy desítiky teflonovou folií, která má malou tepelnou vodivost / $\lambda = 2,3 \text{ W.m}^{-1}.^{\circ}\text{C}^{-1}$ / a tím se snížila doba naměření na metálovou hadici teploty. Přestože vliv teploty doba byla silnější v povrchovém a debou náběhu u kovů mělo mít vliv. Proto nebylo možné měřit síly a teplotu současně. Nová folie by byla doba naměřitě byla delší, neboť nové desítidlo je intenzivně ohlazené kovovým drážkem a okolím.

Při mřížové formě desítikou se slinutého karbídu K10 je z diagramu č. 4.4.7.1. vidět, že při posuvu $a = 0,11 \text{ mm.st}^{-1}$ je maximální teplota, která daleko větší než rostoucí posuvem kleček. Je to iedy strašně závislost na kovu. Z diagramu č. 4.4.7.2. vyplývá, že a rostoucí formou rychlosť teplota parabolicky roste a při $a = 200,2 \text{ mm.min}^{-1} \approx s = 0,08 \text{ mm.st}^{-1}$ bylo dosaženo teploty $226,7^{\circ}\text{C}$. Tyto závislosti byly prováděny s novou desítikou, která měla otvor $V_g = 0,8$ až $0,9 \text{ mm}$.

Na velikost teploty pořádku bude mit vliv i velikost spotřebné formy desítiky, což jsme se převedli mřížením více stupňovou formou desítikou / $V_B = 1,5 \text{ mm.}$, kdy jsme měřili hodnotu teploty $235,2^{\circ}\text{C}$ při $a = 0,06 \text{ mm.st}^{-1}$ a $s = 200,2 \text{ mm.min}^{-1}$.

Při mřížové keramickou formou desítikou, u které byla totiž provedena lisovací teflonovou folií, byly dosaženy nižší teploty oproti K10, jak vyplývá z diagramu č. 4.4.7.2. S rostoucí

Tezne rychlosti tepla roste přibližně lineárně.

Nomogramy lze jednak přimudit způsobu výroby otvoru v tezne destičce, který mohl být destičně blíže maximální teplotě v ohledu sítipnutí při výpalu, a daleko tomu, že přestup temna z tezne destičky na teply spoj termotlánku zajistovalo pouze speciální lepidlo. Náhradou na vzdálenost teplotu byl proto velmi dlouhý a tedy mohla dočítka ani když nečinila teplotu. Jistý podíl na rozdílu teplot může vznikat vlastností keramických destiček /viz. kap. 4.4.1./.

Z těchto důvodů můžeme teploty keramických destiček pouze informační význam, který si dál využije svého nového názvu. Nejdříve však bude vyrobení zhotovení otvoru v místě maximální teploty tezne destičky a připevnění tepla spoj termotlánku s uzávěrem. Na hlavní círce tepla při obdobení izostaticky lisované keramiky je ve styku hřbet-plachta tezu.

5. Závěr

Úkolem této diplomové práce byl návrh metodiky měření významných parametrů působících na dílnu při sestrukování inostatické lisované keramiky.

Práce se skladá v podstatě ze dvou částí. Z teoretické a praktické, která je ověřením navrhnuté metodiky měření.

V teoretické části jsou shrány poznatky o inostatické lisované keramice z doosvědčivých prácí, neboť obdobná inostatická lisovaná keramika je v posledních letech využívána v technologii obrábění inostatické lisované keramiky není dosud v žádné literatuře spracována. Uvedeny jsou vlastnosti, složení, ochrana výrobky a výsledky z doosvědčivých měření.

V praktické části bylo nutné provést před vlnem měření výběr nákladních veličin, které se stanovit metodiku sledování a provést výběr nejvhodnějších měřítek a měřicích přístrojů.

Měření sil prováděno triplexkovým dynamometrem bylo upraveno do tabulek a grafů, v kterých je možné vydat velikost a průběh měření sletek řezných mil na různých řezných podmínkách. Obdobně zpracováno pro dynamické hodnoty sletek řezné sítě a měření templaty.

Pro efektivizaci provádění měření sil bylo použito metody plánování experimentu a pro zpracování naměřených hodnot byla použita metoda nejménších čtvereců. Tyto měření metodické metody, a využitím výpočetní techniky, by se mohly použít místo dřívějších grafických metod pro všechna měření.

Měření řezných sil byly stanoveny:

- konstanty pro výjádření vztahu sletek řezné sítě pro hrubouvací a tvarovací mili a pro hmoty M 30 a M 50
- pomery sletek řezné sítě $P_v : P_f : P_p$ a jejich závislosti na řezných podmínkách pro qbd hmoty
- výsledné řezné sítě a jejich závislost na řezné rychlosti

a. posunu pro obě hmoty, hmotu M 60 vykazuje v dané závislosti menší výsledné síly

- dynamické hmoty sledují řetěz síly pro hrubovací mříž a hmotu M 50 v závislosti na různých podmínek:
- se zvětšením posunu využívají dynamické hmoty, nejméně všechna F_y
- vliv řetěz využití s hmotky Posa na dynamické hmoty je proti posunu menší

Některé doporučení:

- se zvětšenou Posenou využítí se teplota parabolicky zvětšující průběh
- se zvětšenou posunem teplota lineárně klesá

Pro lepší využití je třeba příloha doplněna fotografiemi a kreslonymi obrázky.

Dosud nové technologie výroby ve fiktivitě si vymažete počítadlovat ve výkonné strojní, např. dálšími přednostmi zkoušení by mohlo být využití příslušné chvíle pro určení dynamického možnosti přenosu trásky, tj. kdy při různých různých podmíncích zákonu využití chvíle. Využití sil použití pro rozmístění různých hmot dle obratnosti, neboť využití sil není tak časově náročné jako stanovení obratnosti měřením opakování.

Aby mohlo být prováděno využití ještě kvalitněji, musí být na výběru druhé posunuté především přistávací výkony.

Závěrem této diplomové práce bych chtěl poděkovat svým konzultantovi Ing. Printovi za cenné příspěvky a radu, kterými všeobecně udržoval využitování celé diplomové práce. Dále bych chtěl poděkovat svém průběžníkům VÚEK Brnoec Královec, kteří mi byli napomoci a svými skutečnostmi příspěli k naplnění příslušného úkolu.

C. Dílo odborného pracovního výzkumu

- /1/ Buda, Jiří : - rozvoj nových výrobkových materiálů
CVUT Praha 1962
- /2/ Matoušek Z. : - teorie obrazání
CVUT Praha 1971
- /3/ Černohlávek V. : - studium vlastností mědičného materiálu vždy
dostupných, nových až dosud neznámých na mědič
výrobu a vývoj nového řešení zářivky 1977
- optimální výkonnostní vlastnosti
mědičných výrobkovitelných materiálů
- /4/ Károvec B. : - CVUT Praha 1964
- /5/ Torek B. : - Elektrosvitelnost výrobkovitelných materiálů
CVUT Praha 1964
- /6/ Bialekova S. : - vývoj a využití nových obrazávacích materiálů
Vysoké školy sportu Praha 1975
- /7/ Růžička S. : - studium primátoru PZM
Vysoké školy sportu Praha 1977
- využití primátoru PZM
- využití primátoru PZM
- /8/ Fialová J. : - základy experimentálních metod v mědič
materiálech v teorii obrazání
Skripta ČVUT Praha
- /9/ Šimel J. : - DP - ř. 1264/77 - ŘST Liberec 1977
- /10/ Šulc F. : - DP - ř. 1334/74 - ŘST Liberec 1974
- /11/ Jekl V. : - DP - ř. 1454/74 - ŘST Liberec 1974
- /12/ Dvořáčková P. : - optimální konstrukční krytí dosud známých
materiálů v mědiční oblasti
- /13/ Burek J. : - ŘST Liberec 1979
- využití krytu v mědiční oblasti
- /14/ Sládeček M. : - CVUT Praha 1964